



## Campo di ELETTRA

Aggiornamento al 31/12/18

Il campo di Elettra è situato nella concessione B.C23.AG (Eni 100%) della zona “B” dell’offshore Adriatico a circa 53 Km dalla costa marchigiana come evidenziato in Figura 1. In quest’area la profondità media del fondale è di circa 80 m.

CONCESSIONE	SCADENZA	OPERATORE	TITOLARI	QUOTA	REGIONE
B.C23.AG	21/09/26	Eni	Eni	100%	MARCHE

Il campo è stato scoperto nel 1995 con la perforazione del pozzo esplorativo Elettra 1, che ha raggiunto la profondità di 1325 m RT risultando mineralizzato a gas in numerosi livelli sabbiosi della Formazione Carola (Pleistocene) compresi fra 660 e 1130 m RT (Figura 2). Nel 2003 è stato perforato il pozzo *appraisal* Elettra 2 che ha raggiunto la profondità di 1228 m RT (Formazione Santerno – Pliocene Superiore) ed è risultato mineralizzato a gas tra i 771 e i 1126 m RT nella Formazione Carola. Il pozzo aveva lo scopo di verificare i contatti (GWC e GDT) e l’estensione dei livelli a gas scoperti con il pozzo 1, ma ha trovato gas solo in 13 dei 29 livelli mineralizzati in Elettra 1. Entrambi i pozzi (Elettra 1 ed Elettra 2) sono stati chiusi e abbandonati. La struttura Elettra è costituita da una blanda anticlinale con asse principale orientato Nord-Sud, e con chiusura su 4 vie costituita da alternanze torbidi-tiche sabbioso-argillose della Formazione Carola che diventano talora molto fitte.

I livelli, di spessore variabile da 0.4 m a circa 6 m, sono caratterizzati dalla presenza di sistemi canalizzati (lobi e canali) e da sistemi torbidi-tici a strati sottili. Il giacimento è stato sviluppato nel periodo aprile-agosto 2014, perforando dalla piattaforma Elettra di tipo tripode, il pozzo Elettra 3 completato in doppio con tecnologia “*sand control*”, del tipo ICGP GIF e HRWP. Il campo è stato posto in produzione ad agosto 2014.

I cinque livelli principali, in termini di volumi di gas in posto, sono: PLQ1-Abis, PLQ1-Cbis, PLQ1-AEbis, PLQ1-AE1 e PLQ1-FI1 per un complessivo GOIP Certo + Probabile di 595.2 MSm<sup>3</sup> (*modello di giacimento: rel. GISE 26/10 dell’agosto 2010*). In tali livelli è concentrato il 50.6 % del GOIP Certo + Probabile di tutto il campo (GOIP totale 1175 MSm<sup>3</sup>).

La previsione di produzione per lo scenario di riferimento “Certo + Probabile” stima in 470 MSm<sup>3</sup> il volume cumulativo di gas producibile in 12 anni; per un fattore di recupero, quindi,



del 79% (sul GOIP sviluppato). Il pozzo Elettra 3 è stato allacciato con *tie-in* sottomarino al tratto di *sealine* che collega la piattaforma Bonaccia con quella di Calpurnia.

Per la sua posizione geografica, il campo di Elettra è stato incluso nel complesso costituito dai campi del "*Clara Complex*" (Clara Est-NW, Clara Nord, Calpurnia) e dal campo di Calipso per quanto riguarda l'esecuzione di studi di giacimento, di previsioni di subsidenza e del complesso dei monitoraggi.

Nel 2010, nell'ambito della documentazione tecnica (SIA) preparata per l'istanza concernente il progetto di sviluppo di Elettra, si è realizzato, pertanto, un unico modello geomeccanico integrato con i sopracitati campi del *Clara Complex* e di Calipso, al fine di valutare eventuali interazioni di tipo idraulico e/o meccanico fra gli stessi e prevederne l'eventuale subsidenza indotta dalla loro coltivazione. Tale previsione è stata fatta con il modello FEM Isamgeo relativamente a tre diversi scenari di compressibilità (rel. *Eni-Tera: Campi del Clara Complex, Calipso ed Elettra - Modello Elasto-Plastico di Subsidenza-Management Summary - agosto 2010*).

Le simulazioni con modello sono state protrate fino al 2054 onde tener conto degli effetti dell'evoluzione della pressione nelle zone mineralizzate e in acquifero dopo la fine della produzione. Per lo scenario di riferimento ( $C_m\_Med$ ), ritenuto il più probabile, la subsidenza massima prevista per Elettra è stata stimata in 16 cm al 2054. Per quanto riguarda la distanza dalla costa della curva d'iso-subsidenza di 2 cm, corrispondente alla massima estensione del cono di subsidenza relativo ai 5 campi, è risultata essere di circa 32 km.

Un ulteriore aggiornamento/taratura del precedente modello geomeccanico è stato fatto nel dicembre 2011, previa revisione del modello di giacimento 3D *Eclipse* di tutti i campi dell'area (*Clara Complex*, Calipso ed Elettra). Quest'ultima revisione si è resa necessaria per tener conto sia del nuovo progetto di sviluppo "Clara NW" che ipotizzava la perforazione di 4 nuovi pozzi in corrispondenza di una culminazione secondaria (NW) di Clara Est, sia dei nuovi dati disponibili a seguito della campagna di *workover* del 2011 sui pozzi dei campi di Calpurnia e di Clara Nord. Con questi nuovi studi di giacimento (statici, dinamici e geomeccanici) si sono voluti di nuovo valutare gli effetti di eventuali interazioni di tipo idraulico e/o meccanico fra campi del *Clara Complex*, di Calipso ed Elettra (rel. *Eni-Tera: Campi del Clara Complex, Calipso ed Elettra - Modello Elasto-Plastico di Subsidenza-Management Summary - dicembre 2011*).



Nel corso delle simulazioni con modello geomeccanico si sono considerati 3 possibili scenari per il valore del coefficiente di compressibilità ( $C_m$ ), che a loro volta hanno generato altrettanti scenari previsionali di subsidenza i cui risultati oscillano nell'intorno di un valore medio all'interno di una banda di confidenza.

Il nuovo studio ha sostanzialmente confermato, per il campo di Elettra, le conclusioni di quello del 2010, con una stima della subsidenza massima per lo scenario ritenuto più probabile ( $C_{m\_Med}$ ) di 15 cm al 2060.

Per lo scenario ( $C_{m\_Upper}$ ) più pessimistico e per tutti gli altri scenari considerati nello studio, la linea d'iso-subsidenza dei 2 cm si è sempre mantenuta a una distanza dalla costa superiore ai 32 km. Nel 2013 è stato nuovamente aggiornato il modello dinamico di giacimento (rel. *Eni-GISE n.11/2013: Clara Complex – campi: Calipso-Calpurnia-Clara Est-Clara Nord-Elettra. Aggiornamento del modello di giacimento per modello geomeccanico. Scheda Riassuntiva aprile 2013*) a supporto del nuovo progetto di sviluppo “Clara SE”, che prevede l'installazione di una nuova piattaforma di produzione e la perforazione di due nuovi pozzi (Clara Est 14D e Clara Est 15D). Anche in quest'ultimo caso l'aggiornamento è stato fatto tenendo conto delle possibili interazioni di natura idraulica e meccanica fra i campi stessi e nel caso di Elettra, viene confermato quanto già previsto nel precedente modello dinamico del 2010.

Un nuovo modello geomeccanico 3D a elementi finiti (rel. *Eni-Tera: Campi del Clara Complex, con il nuovo sviluppo “Clara Sud-Est”, Calipso ed Elettra - Modello Elasto-Plastico di Subsidenza-Management Summary - settembre 2013*) è stato, poi, finalizzato per valutare l'entità della subsidenza e l'estensione del relativo cono indotti dalla produzione complessiva dei campi sopracitati. Ancora una volta le simulazioni fatte hanno preso in esame tre diversi scenari di compressibilità.

Nel caso ritenuto più probabile (scenario di compressibilità  $C_{m\_Med}$ ), la subsidenza massima prevista per tutta l'area in esame è occorsa in corrispondenza del campo di Clara Nord risultando pari a 68 cm al 2021; tale valore si riduce a circa 62 cm a fine simulazione. Per quanto riguarda Elettra, la subsidenza massima (nel caso  $C_{m\_Med}$ ) risulta pari a 18 cm al 2065, valore in sostanziale accordo con le stime dei modelli precedenti. Lo studio è stato protratto fino al 2065 (fine simulazione) in modo da considerare l'effetto dell'evoluzione della pressione nelle regioni mineralizzate e in acquifero dopo la fine della produzione.



Anche in questo nuovo aggiornamento del modello geomeccanico la linea d'iso-subsidenza dei 2 cm si mantiene per tutti gli scenari considerati a una distanza dalla costa sempre superiore a 32 km.

Nel 2017 è stato eseguito un nuovo studio integrato per un nuovo modello (statico e dinamico) dei giacimenti dell'area del Clara Complex, Calipso ed Elettra (*Eni-GISE 24/2017 Clara Complex – Scheda integrativa all'aggiornamento dello studio di giacimento per geomeccanica - Scheda riassuntiva – dicembre 2017*). Le riserve di Elettra sono state aggiornate a 541 MSm<sup>3</sup> producibili al 2029.

In Figura 3 è riportato l'andamento storico della produzione di gas del campo (kSm<sup>3</sup>/g) e di acqua (m<sup>3</sup>/g).

In Figura 4, Figura 5 e Figura 6 è riportato, invece, il confronto tra la produzione reale annuale e cumulativa e quella prevista dal modello Eclipse 2017. Al 31/12/2018 la produzione cumulativa del campo è pari a 348 MSm<sup>3</sup>.

In Figura 7 è presentato il confronto tra i profili di pressione calcolati da modello *Eclipse* 2017 e le misure di pressione registrate nei livelli PLQ1-Abis+C+Cbis che mostrano un carattere conservativo delle previsioni modellistiche.

A seguito del nuovo modello di giacimento si è aggiornato anche il modello geomeccanico (rel. *Eni-EORG 07/2017: Campi del Clara Complex, Calipso ed Elettra - Modello Elasto-Plastico di Subsidenza-Management Summary - dicembre 2017*).

Per le simulazioni del modello geomeccanico si sono considerati 3 diversi scenari di produzione:

- **DO NOTHING:** prevede di proseguire lo sviluppo del giacimento mediante i completamenti aperti a fine *history match* (dicembre 2017), senza ulteriori interventi;
- **CLPS5:** considera lo sviluppo del campo di Calipso con un nuovo pozzo (Calipso 5) dal 01/09/2019;
- **CLPS6:** sviluppo *full field* che prevede due pozzi su Calipso (Calipso 5 dal 01/09/2019 e Calipso 6 dal 01/11/2019) e lo sviluppo del giacimento di Clara Est con due pozzi (Clara Est 14 dir e Clara Est 15 dir) in produzione dal 01/02/2021.

I risultati del nuovo studio mostrano, per il campo di Elettra, un valore di subsidenza massima di 11 cm al 2030 (fine produzione) che rimane stabile fino a fine simulazione (2061). Per tutti gli scenari considerati nello studio, la massima estensione della subsidenza previ-



sta, corrispondente alla curva di iso-subsidenza dei 2 cm, si mantiene per l'intera durata della simulazione ad oltre 29 km dalla costa e dalla città di Ancona. In Figura 8 è mostrata l'evoluzione nel tempo, rispettivamente della linea dei 2 cm e della subsidenza prevista nel punto di massimo, per lo scenario CLPS6.

La Tabella 1 riporta per i cinque campi e per i 3 scenari di *forecast* considerati, i valori massimi di subsidenza ottenuti e le date alle quali si conseguono.

**Tabella 1– Valori massimi previsti di subsidenza alle date sotto indicate**

	<b>Clara Nord</b>	<b>Calpurnia</b>	<b>Elettra</b>	<b>Clara Est</b>	<b>Clara NW</b>	<b>Calipso</b>
<b>DN</b>	34 cm (2016)	14 cm (2015)	11 cm (2061)	69 cm (2061)	81 cm (2038)	57 cm (2022)
<b>CLPS5</b>	34 cm (2016)	14 cm (2015)	11 cm (2061)	69 cm (2061)	81 cm (2038)	84 cm (2026)
<b>CLPS6</b>	34 cm (2016)	14 cm (2015)	11 cm (2061)	129 cm (2037)	97 cm (2061)	85 cm (2026)

Il fatto che tutti gli studi geomeccanici sino ad ora eseguiti per valutare i possibili effetti d'interferenza idraulica e meccanica fra i campi dell'area in esame concordino nel prevedere che il fenomeno della subsidenza si esaurisca a grande distanza dalla costa (circa 29 km), ha una spiegazione nel particolare assetto geologico dell'area stessa, come del resto già accennato in precedenza.

Tale assetto, rappresentato nello *sketch* stratigrafico-strutturale di Figura 9 e basato su un'interpretazione sismica controllata con dati di pozzo, definisce uno schema di rapporti verticali e laterali tra le formazioni che costituiscono i giacimenti (*reservoir* e copertura) e il substrato che limitano l'estensione del fenomeno subsidenziale verso costa.

Infatti, lungo la direttrice esaminata (WSW-ENE) in direzione della costa, i livelli mineralizzati si chiudono per limite deposizionale in onlap sui livelli argillosi della F.ne Santerno che rappresenta un'importante barriera idraulica verso costa.

Il substrato dell'offshore anconetano presenta, inoltre, una successione carbonatica prepiocenica posta talora a poche centinaia di metri di profondità - (pozzo Brezza1) che localmente affiora sulla costa (promontorio M.te Conero) in corrispondenza di alti strutturali appenninici, mentre la successione terrigena di copertura è relativa a intervalli stratigrafici differenti dalle zone *reservoir* del *Clara Complex* e campi limitrofi. Tutto ciò limita sensibil-



mente la possibilità che si possa verificare una depressurizzazione e conseguente compattezza dei sedimenti sulla costa e nelle fasce antistanti al litorale.

E', pertanto, del tutto comprensibile, che:

- sia per la presenza di tale barriera idraulica di tipo sedimentologico-strutturale interposta tra il complesso dei giacimenti in esame e la costa,
- sia per l'elevata distanza dei giacimenti stessi dalla costa (ad es. 45 km per Clara Est e 53 km per Elettra),

in tutte le previsioni il fenomeno di subsidenza si esaurisca rapidamente in direzione della costa e, quindi, la distanza del cono di subsidenza dalla costa stessa risulti elevata (almeno 32 km). Tra la fine del 2007 e l'inizio del 2008 è stato eseguito un rilievo batimetrico *multi-beam* di un'area (1662 km<sup>2</sup>) comprendente i campi del *Clara Complex*, Calipso ed Elettra (Figura 10). Tale rilievo, che rappresenta di fatto l'assetto batimetrico del fondale nell'area di Elettra antecedente lo sviluppo del campo (2014), mostra in questo settore un andamento molto articolato e decisamente irregolare del fondale marino, con la presenza di una ripida scarpata morfologica che ribassa tutto il settore sud-orientale del rilievo. Tale assetto morfologico non consente di evidenziare in modo chiaro alcuna anomalia batimetrica significativa riconducibile alla subsidenza indotta dalla coltivazione dei vicini campi del Clara Complex e Calipso (rel. *Eni-Università di Urbino dell'agosto 2008 trasmessa a MATTM in data 11/11/2008 - prot. UGIT ET/mv 1410*). Un nuovo rilievo batimetrico, da confrontarsi con quello base del 2008 è in corso di programmazione.

A partire dai primi anni '70, Eni ha progettato e realizzato lungo la costa adriatica una rete di livellazione geometrica che, su richiesta degli Enti di Controllo a livello regionale e nazionale (Regione Emilia-Romagna, Provincia di Ravenna, Comune di Ravenna e Ministero dell'Ambiente), è rilevata con cadenza periodica. A partire dalla campagna 2011, dopo un intervallo di un anno nel 2010 (anno in cui non sono state fatte livellazioni), tale periodicità ha una cadenza triennale come raccomandato nelle "*Linee Guida per lo Studio dei Fenomeni di Subsidenza nell'Ambito dei Progetti di Sviluppo Sostenibile di Campi ad Olio e Gas*" emesse dal Dip. DMMMSA dell'Università di Padova nel 2007.

Le specifiche tecniche adottate sono quelle ora in uso per i rilievi della rete Eni e rispettano le indicazioni contenute nelle già citate linee guida emesse dall'Università di Padova.



Eni, inoltre, ha affidato la certificazione della documentazione e della metodologia utilizzata a un ente esterno, che attualmente è il Dipartimento DICAM dell'Università di Bologna.

La rete di livellazione rilevata nel 2017 (ultimo rilievo fatto), è stata ampliata con l'aggiunta di uno sbraccio esteso all'area del campo di Agosta.

Tale rete è suddivisa nelle seguenti aree di attività:

- dorsale Adriatica, da Treviso fino a Pesaro, compreso lo sviluppo degli sbracci sul delta del Po, per un totale di circa 1200 km di sviluppo lineare;
- tratto da Pesaro a P.to San Giorgio, per un totale di circa 210 km di sviluppo lineare;
- tratto Marche-Abruzzo, da P.to San Giorgio a Pescara, per un totale di circa 220 km di sviluppo lineare.

Le operazioni di campagna si sono svolte nel periodo compreso tra agosto e ottobre 2017 sotto la diretta supervisione di tecnici Eni e degli esperti dell'ente certificatore.

Si ritiene opportuno sottolineare, inoltre, che, sebbene vi siano punti di contatto tra i vari tratti di livellazione afferenti alla rete Eni, allo stato attuale non è possibile utilizzare in modo congiunto i valori di quota ottenuti sulle singole reti, a causa della disomogeneità tra i capisaldi origine delle tre reti di livellazione. Per ovviare a tale situazione, determinata da fattori ambientali (grandi distanze), su suggerimento dell'ente certificatore è stata realizzata una linea di stazioni permanenti CGPS disposte a distanze regolari tra Pineto e P.to Sant'Elpidio che, con il consolidamento dei dati CGPS, costituiranno una serie di capisaldi origine omogenei, tali da consentire d'ottenere misure di quota fra loro consistenti da Treviso a Pescara. Nel tratto di costa da Pesaro a P.to San Giorgio, antistante alla piattaforma di Clara Nord, con l'acquisizione della campagna 2017 sono in totale disponibili 7 campagne di livellazione fatte negli anni 2006, 2007, 2008, 2009, 2011, 2014 e 2017.

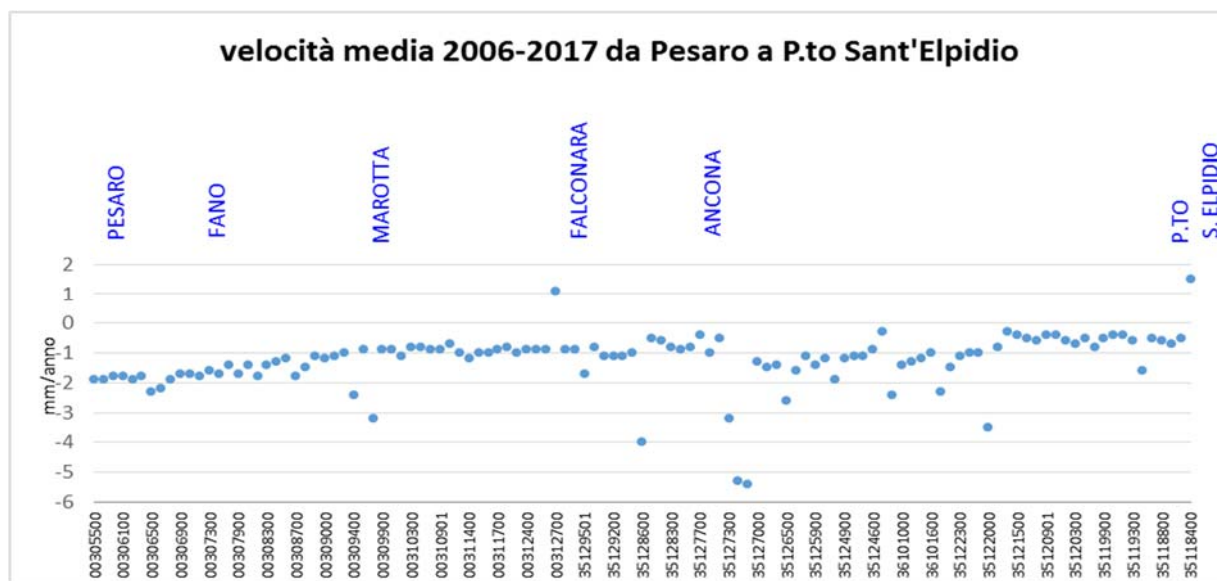
In Figura A viene rappresentato l'andamento altimetrico lungo la tratta Pesaro – P.to Sant'Elpidio durante il periodo 2006-2017.

Nei prossimi anni, con nuove campagne di misura (il prossimo rilievo è previsto nel 2020) e con il consolidamento dei dati CGPS e dei rilievi SAR, sarà possibile fare interpretazioni più puntuali dei dati di livellazione anche per il tratto a sud di Pesaro. Si deve notare, inoltre, che i dati di livellazione, misurati sul singolo caposaldo, non sono di solito sufficienti per caratterizzare la distribuzione areale della subsidenza. Tali misure, infatti, possono essere talvolta alterate da "disturbi" accidentali intervenuti nel tempo sui manufatti su cui i capisaldi stessi sono stati materializzati. Al fine d'ottenere una rappresentazione areale della subsi-

denza o della velocità media di subsidenza di una certa area è necessario avere, quindi, misure di livellazione di più capisaldi, per la cui interpretazione può convenire poi una suddivisione in opportune classi di valori, come di seguito specificato. A questo proposito si sono stimate con regressione lineare le velocità medie annue d'abbassamento del suolo  $V_a^1$  dei singoli capisaldi della tratta Pesaro - P.to Sant'Elpidio, raggruppandole poi nelle seguenti 5 classi:

- classe 4: include i capisaldi con  $V_a \geq 10$  mm/a;
- classe 3: include i capisaldi con  $5 \leq V_a < 10$  mm/a;
- classe 2, include i capisaldi con  $3 \leq V_a < 5$  mm/a;
- classe 1: include i capisaldi con  $0 \leq V_a < 3$  mm/a;
- classe 0: include i capisaldi con  $V_a < 0$  (sollevamento del suolo).

**Figura A – Tratta Pesaro - Sant'Elpidio: velocità medie di subsidenza (2006-2017)**



L'elaborazione con questo approccio delle misure di livellazione del periodo 2006-2017 mostra per l'area in esame, pur nell'ambito di un quadro di generale ma leggero abbassamento (Figura A), una marcata stabilità altimetrica a partire da Fano fino a P.to S. Giorgio: si consideri che il 93% dei punti analizzati ricade nella classe 1 con una media pari a 1.6 mm/a.

<sup>1</sup> Nel presente rapporto di norma le velocità di subsidenza (i.e di abbassamento della superficie) sono riportate con valori negativi. Per comodità d'interpretazione, però, nell'elenco che segue, come pure nei due paragrafi successivi, le velocità di subsidenza sono state rappresentate con valori positivi.





I capisaldi per i quali si osservano alte velocità d'abbassamento (es. 5.4 mm/a nella zona di Ancona), oppure fenomeni d'innalzamento del suolo (es. nella zona di P.to Sant'Elpidio) sono scarsi di numero e isolati: sono, quindi, poco significativi dal punto di vista areale.

Non si possono escludere fenomeni localizzati dovuti a instabilità dei capisaldi stessi, che saranno comunque oggetto di verifica nelle prossime campagne di misura. Il confronto tra i dati CGPS delle stazioni ubicate nell'area in esame (Fano, Falconara e P.to San Giorgio) con le misure delle livellazioni mostra andamenti che, fatte salve le diverse precisioni in termini di ripetibilità, sono assolutamente compatibili. Per completare il monitoraggio altimetrico del tratto di costa antistante alle piattaforme si è proceduto, inoltre, ad aggiornare la copertura SAR (ottobre 2018) per un'analisi areale altimetrica integrata (Appendice A) con i dati forniti dalle stazioni CGPS (Figura 11). Le attività di monitoraggio sono state progressivamente potenziate mettendo in opera un numero crescente di stazioni CGPS sulle piattaforme offshore operate da Eni. Dal 2007, infatti, ne sono state installate sulle piattaforme di Regina e Calpurnia (giugno 2007), di Anemone B (agosto 2007), di Annalisa (ottobre 2007), di Calipso, Tea-Lavanda-Arnica, Clara Est e Clara Nord (novembre 2007), di Barbara NW (gennaio 2008), di Bonaccia (febbraio 2008), di Annamaria A e Annamaria B (gennaio 2010), di Clara W (ottobre 2010) e di Guendalina (agosto 2011). Le stazioni CGPS di Naide e PCC sono, invece, operative dal luglio 2005, mentre la postazione Naomi-Pandora è attiva dal giugno 2002. In tempi più recenti sono state installate anche le nuove stazioni CGPS di Elettra (luglio 2014), di Fauzia (settembre 2014), di Barbara E (novembre 2014), di Bonaccia NW (settembre 2015), e, infine di Clara NW (marzo 2016). Le serie storiche di misure CGPS acquisite nelle stazioni messe in opera nel periodo 2015 - 2016, sono, però, ancora troppo brevi per consentire valutazioni specifiche.

Il sistema di monitoraggio è stato poi ulteriormente potenziato con la costruzione lungo la costa, nel tratto prospiciente i campi sopracitati, di 3 nuove stazioni altimetriche SSU (Satellite Survey Unit) equipaggiate ciascuna con un CGPS, un caposaldo di livellazione geometrica e 2 bersagli radar solidalmente connessi tra loro tramite una trave di cemento armato. Le 3 stazioni SSU sono state realizzate nelle Centrali Eni di Rubicone, di Fano e di Falconara nel dicembre 2007 (Appendice B); negli stessi siti sono stati perforati tra ottobre e dicembre 2008 anche tre pozzi assestometrici per il monitoraggio della compattazione superficiale del terreno. Tali stazioni si sono aggiunte a quelle preesistenti, installate più a Nord lungo la costa ravennate, nelle località di Fiumi Uniti, di Smarlacca e di Spinaroni.



Inoltre, come detto in precedenza, sono state monumentate altre 4 stazioni CGPS in Ortona, Pineto, Grottammare e P.to Sant'Elpidio, il cui completamento è avvenuto nel dicembre 2009, tutte equipaggiate con 2 bersagli radar e con un caposaldo di livellazione.

Allo stato attuale la stazione di Ortona non è, però, più operativa dal 19 aprile 2013 per l'alienazione dell'area. Nel novembre 2016, infine, è stata messa in opera una nuova postazione CGPS a Miglianico (completata con i *corner reflector* nel mese di maggio 2017). Nel corso del 2018, sono state installate due nuove postazioni CGPS, entrambe nella configurazione S.S.U. sulle postazioni di Pomposa (ACPO – installata a settembre 2018) e di Po di Tolle (POTO – installata nel mese di luglio 2018). Una volta acquisita e consolidata una serie storica sufficientemente lunga di misure, tutte le nuove stazioni entreranno a fare parte delle stazioni utilizzate per il monitoraggio della stabilità della costa.

Analogamente a quanto avviene per le livellazioni, anche i dati del monitoraggio CGPS sono validati da un ente esterno. Attualmente questa attività è svolta dall'Università degli Studi di Bologna, facoltà di Fisica – Dipartimento di Fisica e Astronomia DIFAS.

Nel corso della certificazione di tutte le misure geodetiche acquisite al dicembre 2016 dalle stazioni CGPS della rete Eni, DIFAS non ha potuto procedere a elaborare i dati per Elettra. Infatti, la produzione di gas e la relativa acquisizione dati CGPS su tale piattaforma sono iniziati solo a luglio 2014 e, pertanto, la serie storica di misure al dicembre 2016 è di durata troppo breve (inferiore a 3 anni) per consentirne la certificazione a quella data. Si ricorda altresì che la certificazione per gli anni successivi al 2016 è stata avviata ma non ancora completata e, pertanto, nella presente relazione si sono utilizzati solo dati CGPS non certificati. A proposito dei monitoraggi CGPS è opportuno precisare che l'analisi e l'interpretazione degli andamenti nel tempo delle misure altimetriche da utilizzarsi per una verifica/taratura dei modelli previsionali di subsidenza, non possono essere considerate sufficientemente attendibili per *dataset* relativi a periodi di osservazione inferiori ai 36 mesi, come indicato dall'Ente che certifica tali dati con cadenza biennale. L'Ente certificatore, infatti, verifica e valida i dati registrati al fine di poter disporre di un sufficiente d'osservazioni per il corretto inquadramento delle componenti periodiche, della loro incidenza sulle misure e per poter filtrare il "rumore" che per piccole velocità di subsidenza è dello stesso ordine di grandezza del valore del fenomeno fisico osservato.

Serie storiche di durata inferiore ai 36 mesi possono, quindi, essere utilizzate solo per confrontare il trend degli andamenti temporali delle misure altimetriche con quello dei valori



calcolati da modello previsionale, qualora si abbia una subsidenza caratterizzata da valori di sufficientemente elevati. In questi casi sarà possibile monitorare solo eventuali anomalie di trend ma non procedere a un confronto diretto dei valori attesi da modello vs. i valori misurati. In generale:

- dataset < 12 mesi: solo *follow up* per monitoraggio dei dati acquisiti;
- dataset di 12÷36 mesi e
  - piccoli valori di subsidenza attesi: analisi tendenziale del fenomeno e monitoraggio delle anomalie verso il trend previsionale;
  - grandi valori di subsidenza attesi: analisi tendenziale del fenomeno per calibrazione del modello previsionale;
- dataset > 36 mesi: analisi di trend e calibrazione dei modelli geomeccanici confrontando il dato di velocità di subsidenza misurato (depurato dalla velocità di subsidenza naturale) e i valori dei modelli previsionali.

Le elaborazioni sono state fatte con software scientifico Bernese, strategia OBS-MAX, utilizzando i prodotti finali (effemeridi precise e file del polo) messi a disposizione dall'IGS (International GNSS Service). Come anticipato nella precedente relazione, le elaborazioni dei dati CGPS, sono state effettuate utilizzando il sistema di riferimento ITRF2014 con il software BERNESE 5.2. Per le nostre elaborazioni il sistema di riferimento è materializzato dalle stazioni appartenenti alla rete EUREF disponibili tra: Bucarest, Genova, Graz, Matera, Medicina, Padova, Penc, Sofia, Torino, Zimmervald. L'eliminazione degli outlier delle serie storiche è effettuata mediante test a 3 SIGMA iterativo.

Per il campo di Elettra, la serie di misure disponibili supera, a fine 2018, i 36 mesi, e ci consente di stimare la velocità di subsidenza totale<sup>2</sup> in circa -20.98 mm/a in leggera diminuzione rispetto alla velocità (-24.23 mm/a) determinata a fine 2017 (Figura 12 e Figura 13) quando, però, il dato non era completamente stabilizzato. Le elaborazioni delle nuove serie storiche sono state influenzate sia dal cambio del sistema di riferimento (da ITRF2008Igb08 a ITRF2014) sia dall'utilizzo della nuova release del software scientifico Bernese (da 5.0 a 5.2). Entrambe le condizioni hanno introdotto modeste variazioni nelle

---

<sup>2</sup> La "subsidenza totale CGPS" rappresenta in questo caso l'abbassamento altimetrico che il fondale marino subisce in corrispondenza della piattaforma su cui è installato il CGPS. A determinare tale "subsidenza totale" concorrono vari fenomeni: la compattazione di strati profondi per estrazione di gas (subsidenza antropica), movimenti tettonici e costipazione naturale dei sedimenti (subsidenza naturale), compattazione dei sedimenti più superficiali a fondo mare per effetto del peso della piattaforma. Quest'ultimo fenomeno è evidente soprattutto nel periodo immediatamente successivo all'installazione della piattaforma stessa.



velocità medie pregresse, dovute anche al ricalcolo delle serie storiche delle stazioni di riferimento. In particolare, le verifiche effettuate hanno mostrato che tali condizioni possono determinare un aumento della velocità di subsidenza dell'ordine di 0.5 mm/anno, anche sulle serie storiche delle stazioni di riferimento. Si sono, poi, confrontate le previsioni di subsidenza del modello geomeccanico del 2017 con le misure di subsidenza totale rilevate dal CGPS (Figura 14), senza che queste ultime siano state depurate dalla componente di subsidenza naturale: si può notare come l'accordo fra le due serie di dati sia soddisfacente.

In conclusione, il campo di Elettra è stato inserito nella rete Eni di monitoraggio altimetrico della costa, così come richiesto dalle prescrizioni ministeriali. Pur tenendo conto del limitato periodo produttivo del campo, i monitoraggi fatti da Eni consentono di escludere che eventuali fenomeni di subsidenza connessi alla produzione di gas dai campi del Clara Complex, di Calipso e di Elettra abbiano alcun impatto sull'andamento altimetrico del tratto di costa monitorato.

Si segnala, infine, che:

- a) in Figura 15 è presentata una scheda riassuntiva con i dati di campo e lo status dei monitoraggi;
- b) in Figura 16 è presentato un particolare della rete di monitoraggio Eni.



Figura 1 - Ubicazione del campo di Elettra

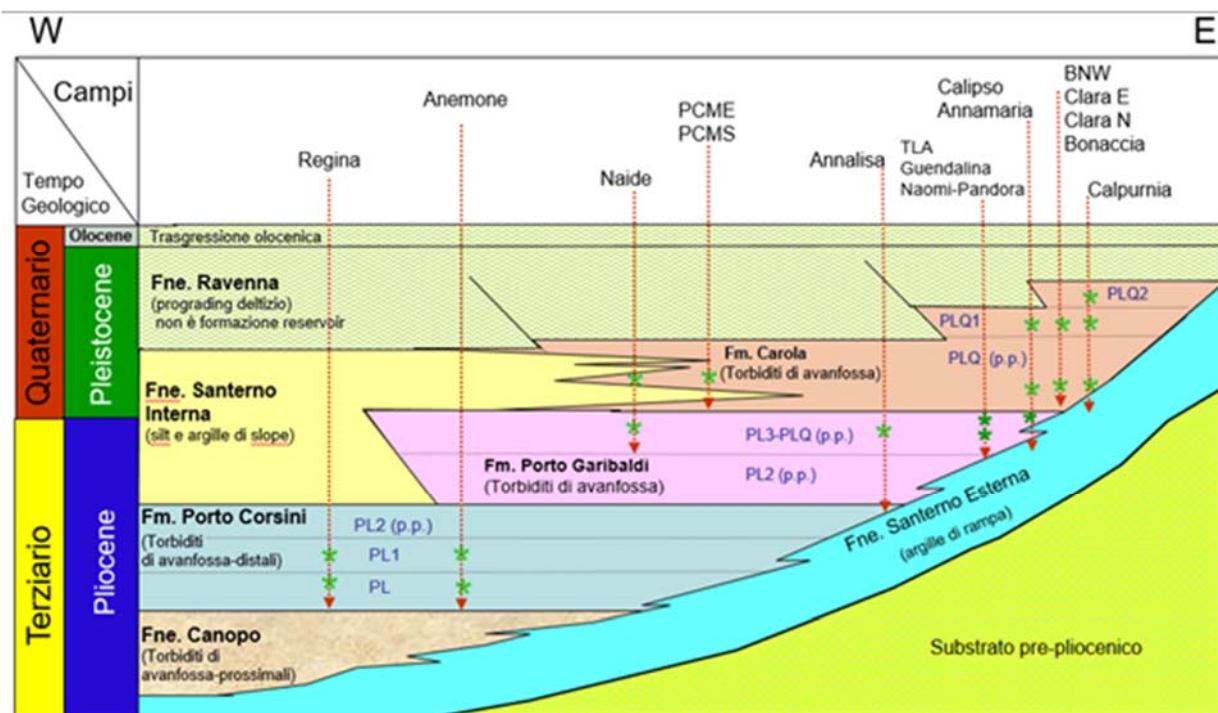


Figura 2 - Bacino Adriatico settentrionale: esempio di schema dei rapporti stratigrafici e dei principali reservoir (\*) sviluppati dai campi

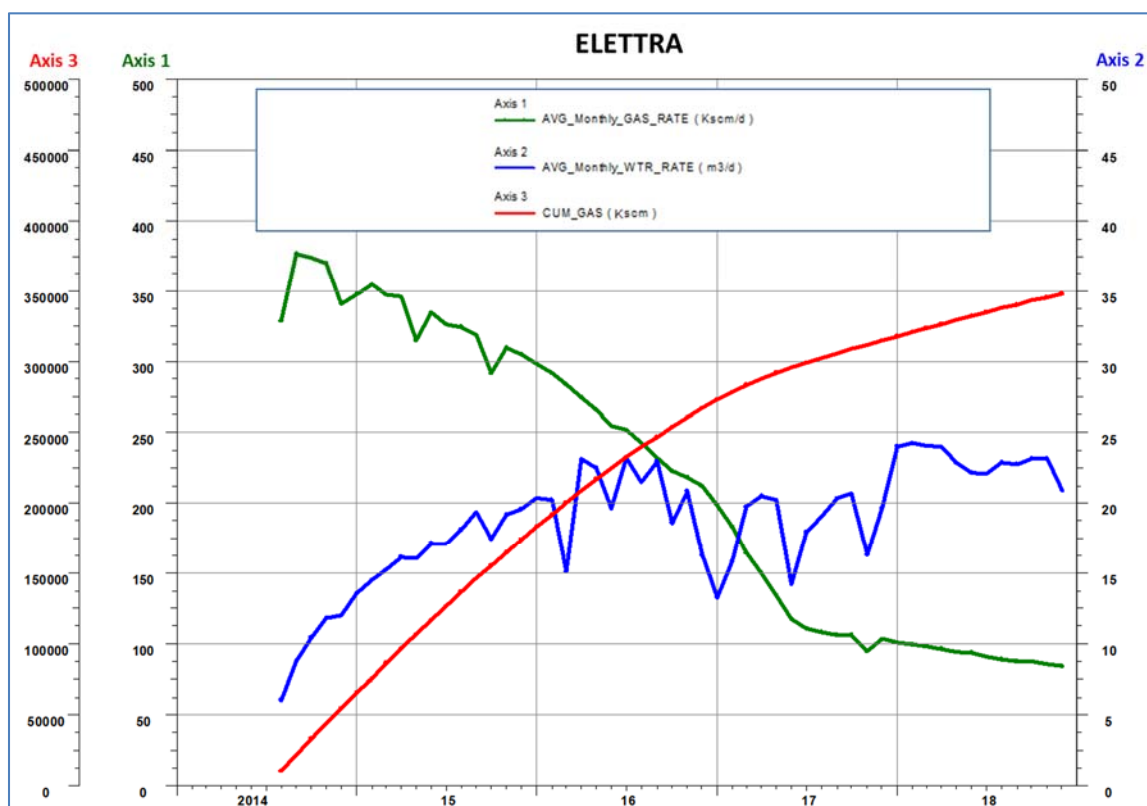


Figura 3 - Campo di Elettra: produzione storica

CAMPO DI ELETTRA					
ANNO	Produzione annuale (MSm <sup>3</sup> )		Produzione cumulativa (MSm <sup>3</sup> )		Rapporto Produzione reale vs Riserve modello 3D ECLIPSE
	Reale	Modello 3D ECLIPSE	Reale	Modello 3D ECLIPSE	
2014	55	55	55	55	10%
2015	119	119	174	174	32%
2016	93	93	267	267	49%
2017	48	57	315	324	58%
2018	34	41	348	365	64%
2019		34		399	
2020		28		427	
2021		23		450	
2022		18		468	
2023		15		483	
2024		12		495	
2025		10		505	
2026		10		515	
2027		9		524	
2028		9		533	
2029		8		541	

Figura 4 - Campo di Elettra: produzioni reali e da modello *Eclipse* 2017

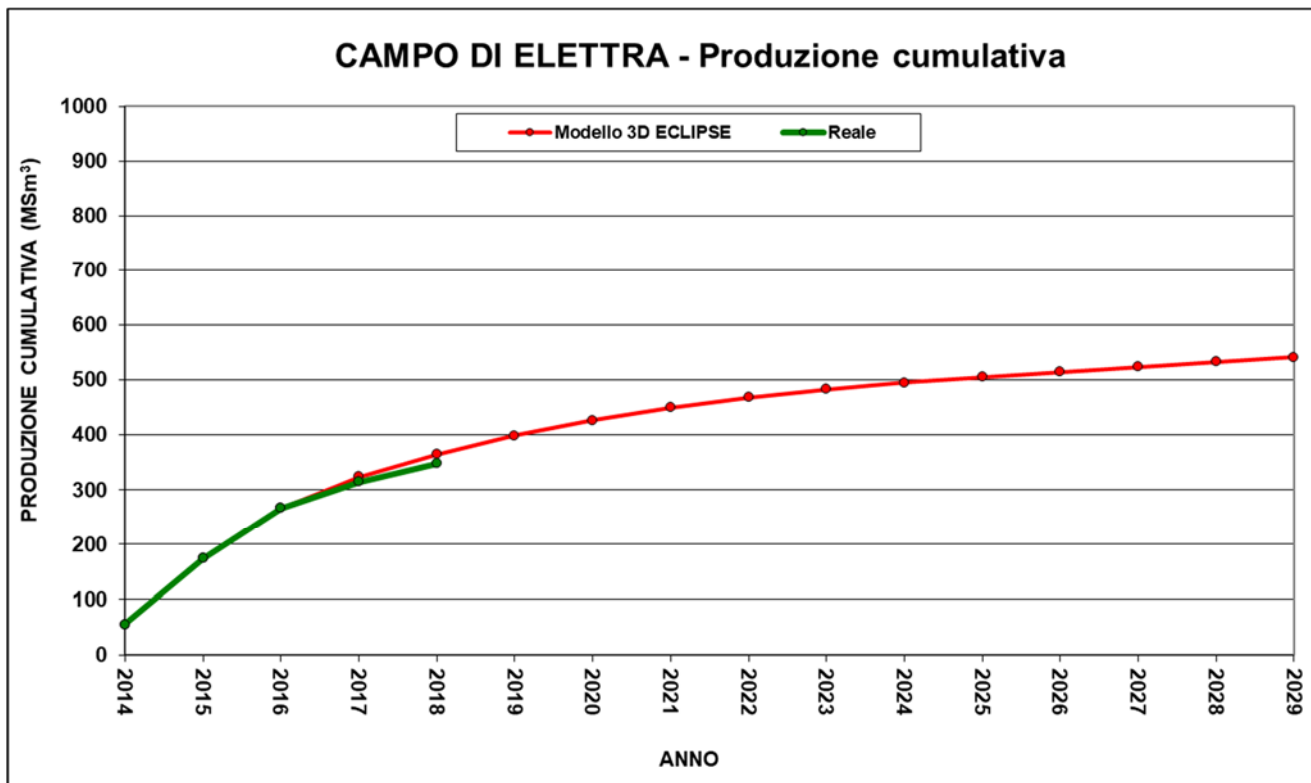


Figura 5 - Campo di Elettra: produzione reale e da modello *Eclipse* 2017

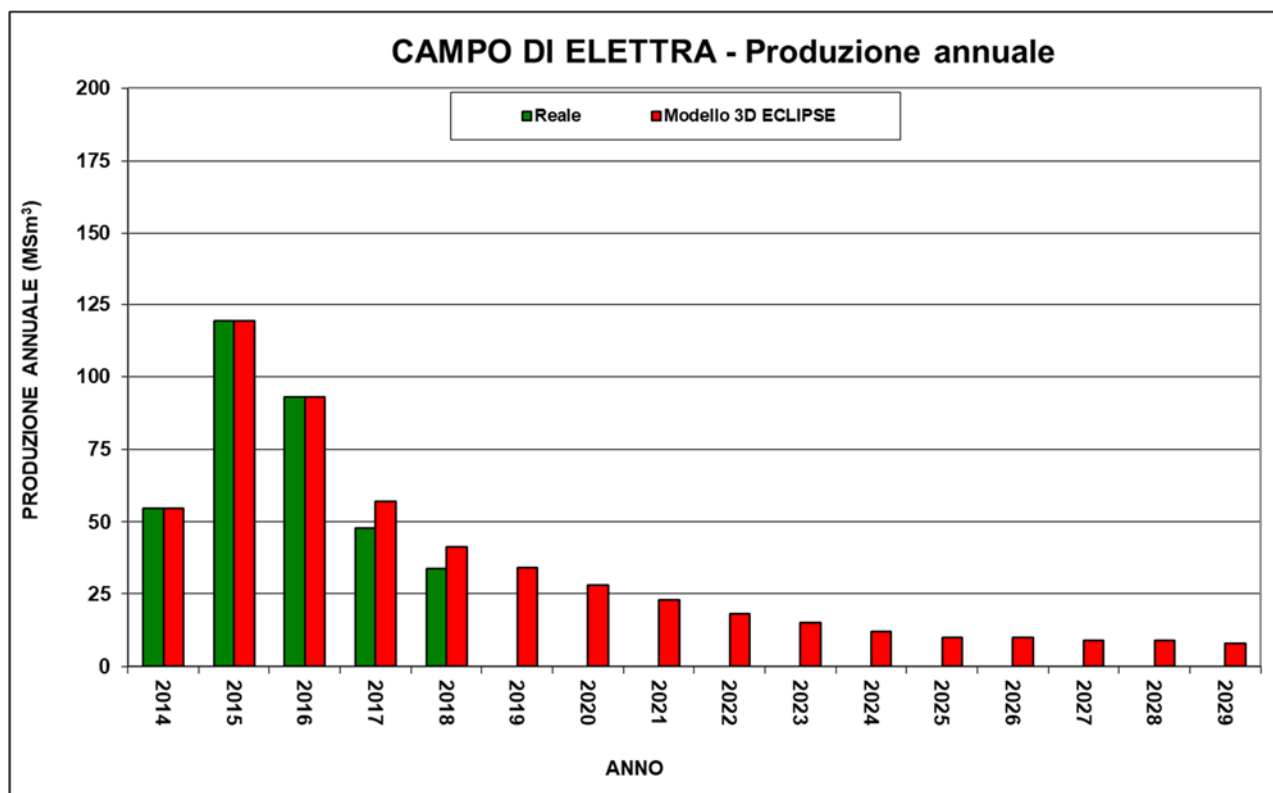


Figura 6 - Campo di Elettra: produzione (annuale) reale e da modello *Eclipse* 2017



CAMPO DI ELETTRA			
Data	Livelli PLQ1-Abis+C+Cbis		
	Pressione (bara)	RFT in pozzo	Profilo in string
04/04/2003	85*	2	
30/10/2016	74		3 C
24/12/2017	74		3 C

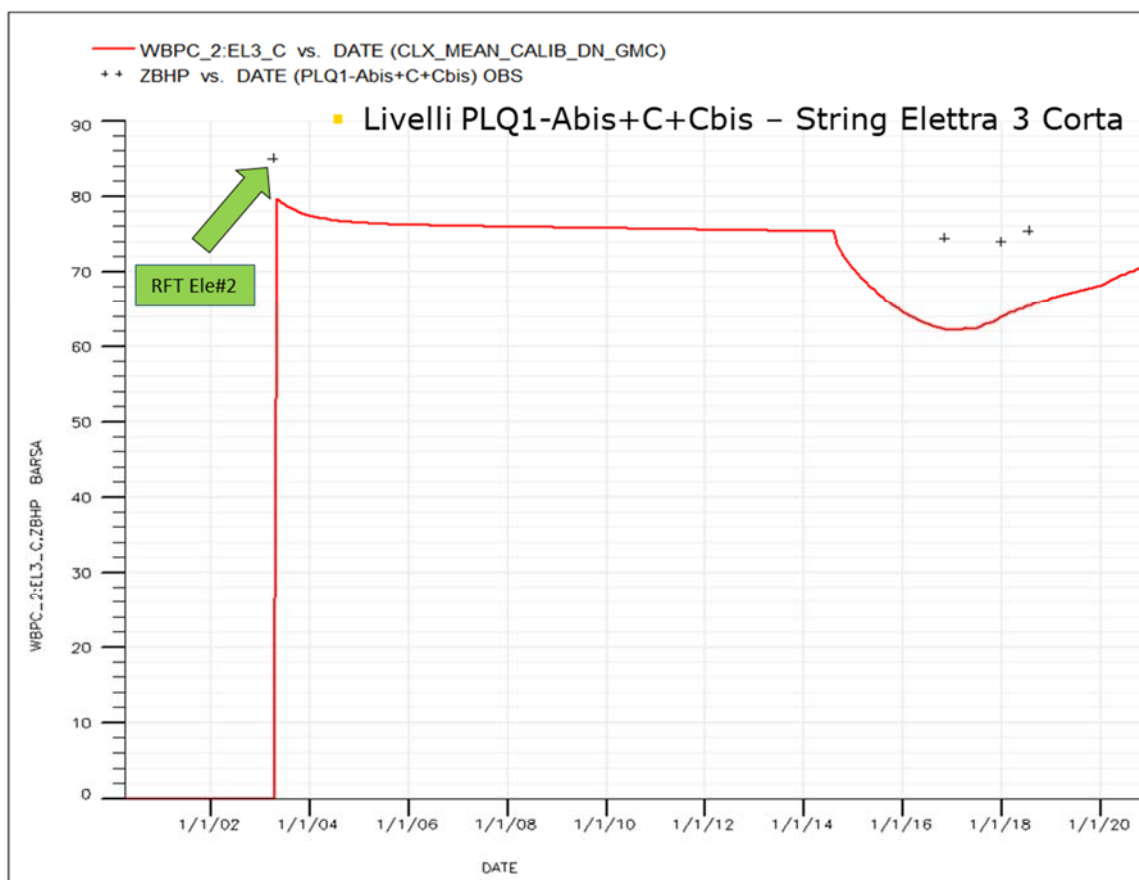


Figura 7 - Campo di Elettra: confronto tra dati di pressione da profili statici e modello Eclipse 2017 (liv. PLQ1-Abis+C+Cbis)



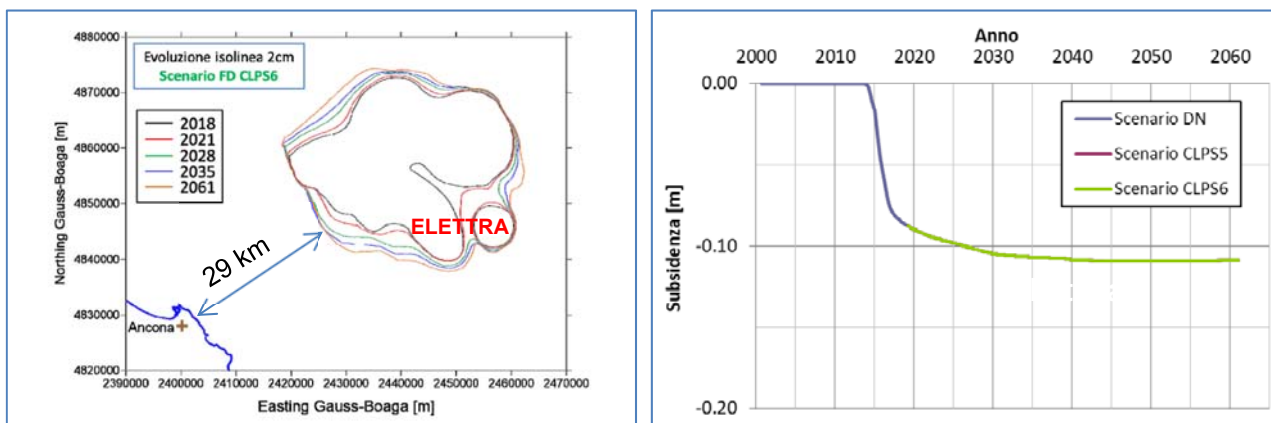


Figura 8 - Campo di Elettra: evoluzione nel tempo, rispettivamente della linea di iso-subsidenza dei 2 cm e della subsidenza prevista nel punto di massimo, per lo scenario CLPS6

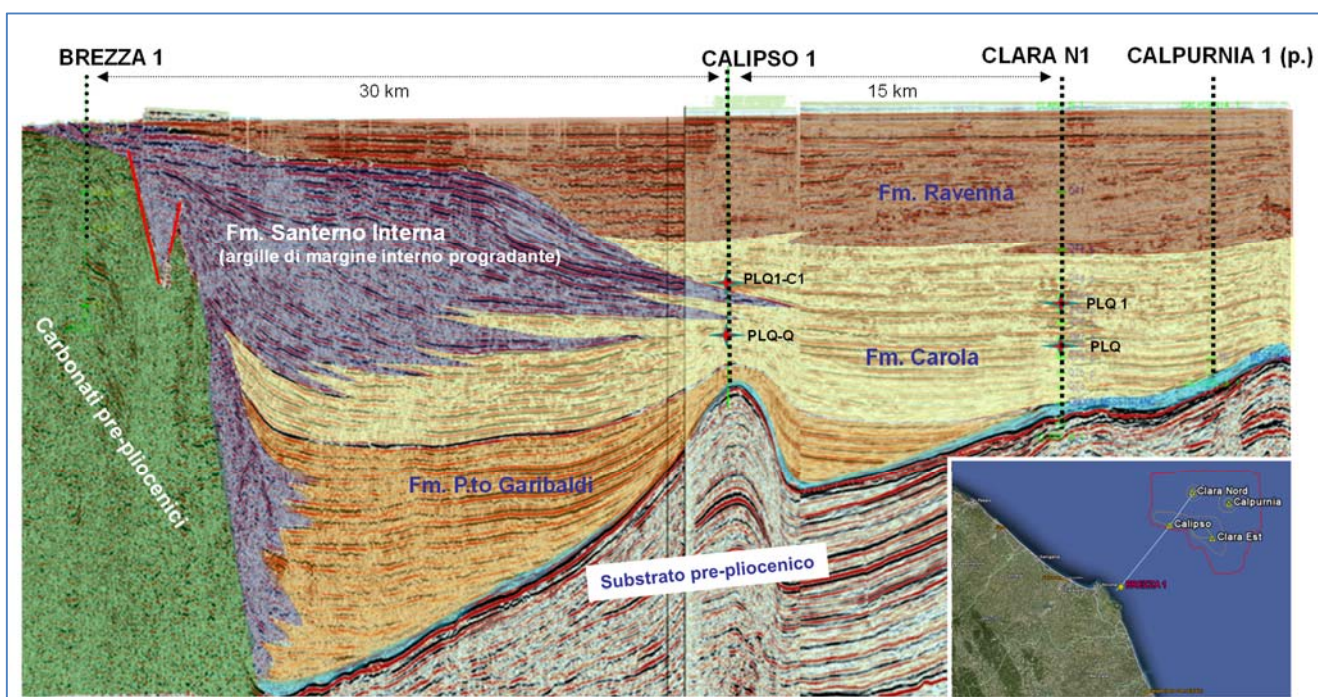


Figura 9 - Clara Complex e Calipso: sezione sismica interpretata

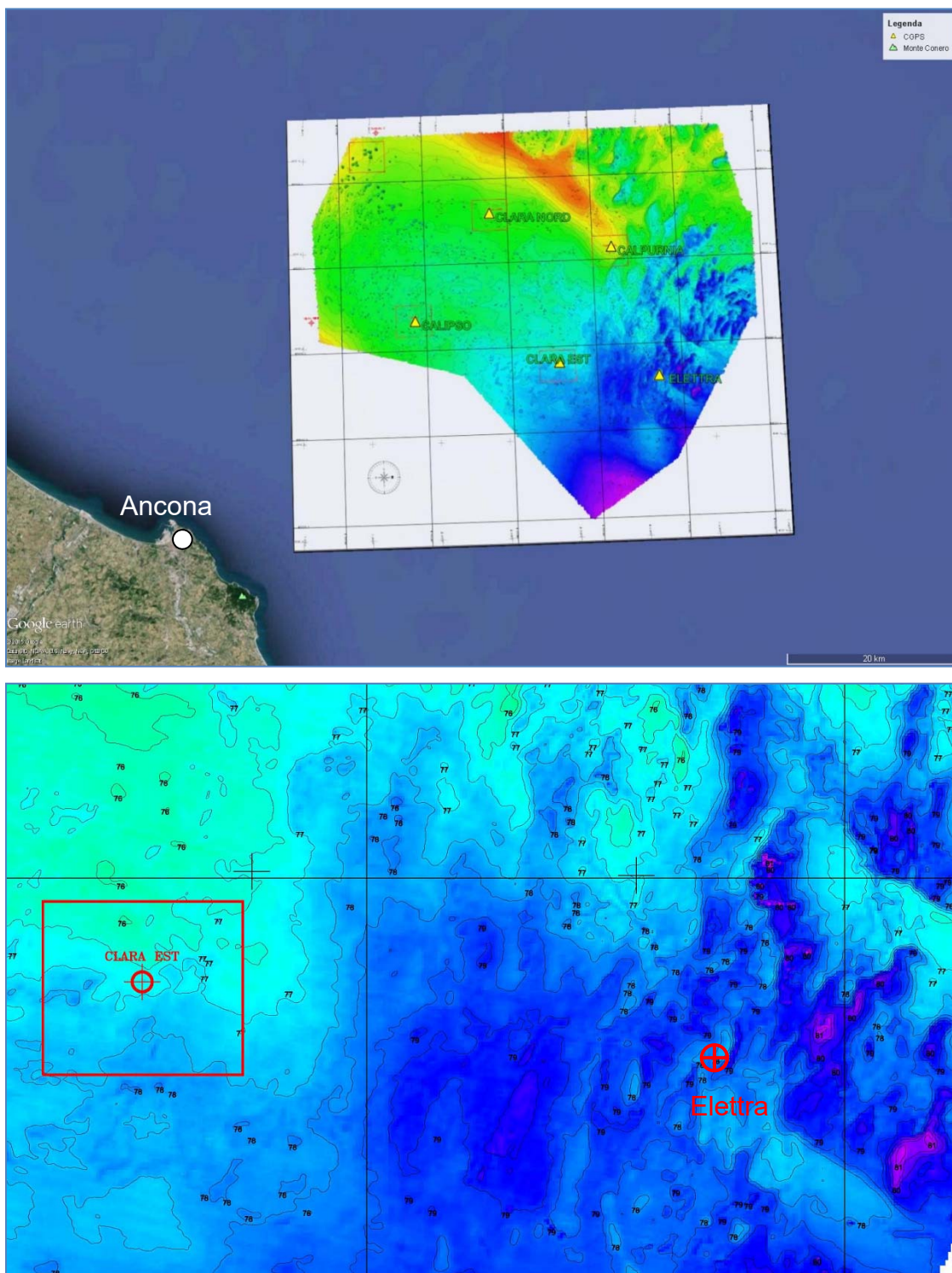


Figura 10 - Clara Complex, Calipso ed Elettra – rilievo batimetrico del 2007-2008

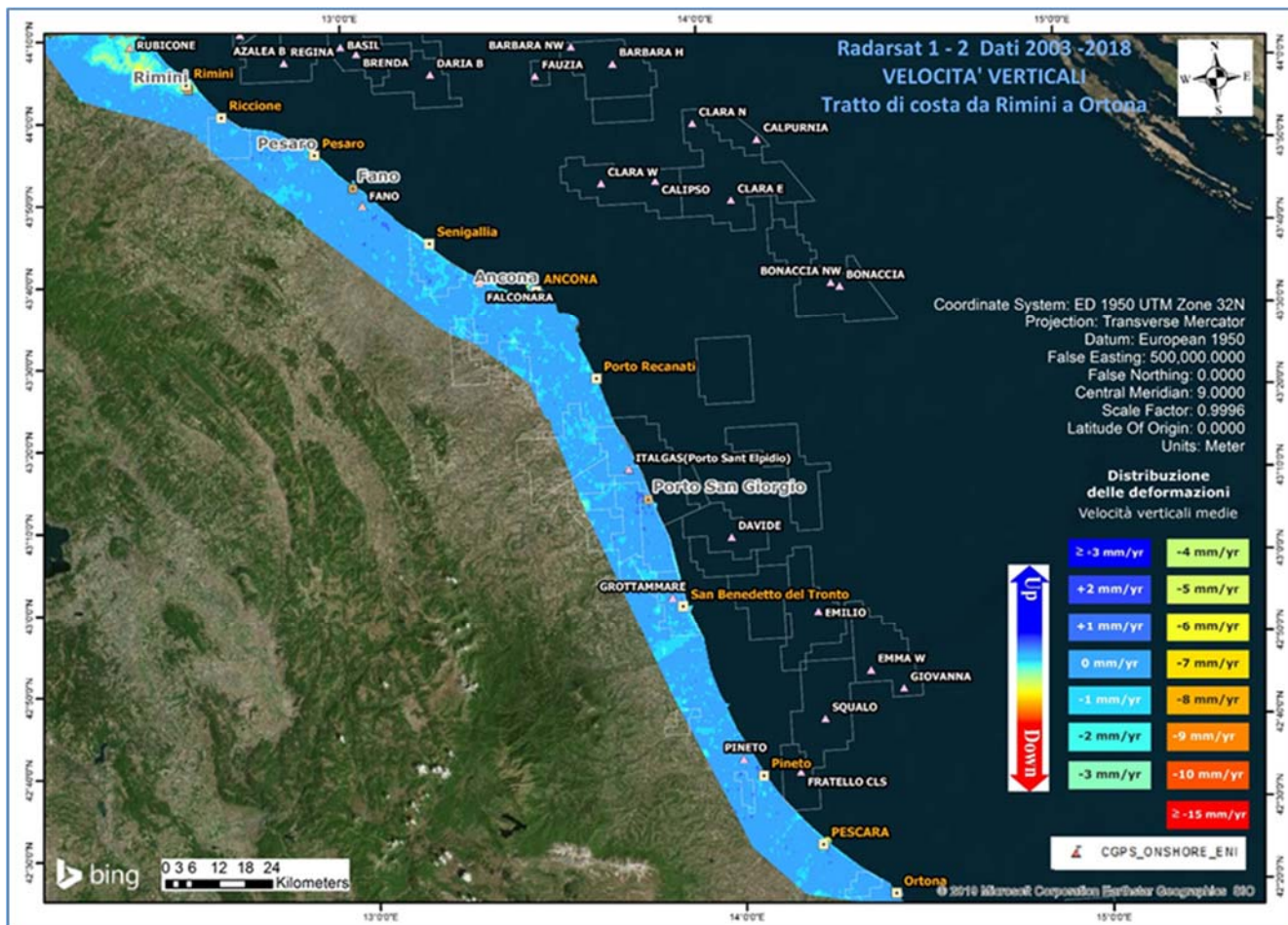


Figura 11 - Campo di Eletttra: analisi dati SAR dal 2003 al 2018

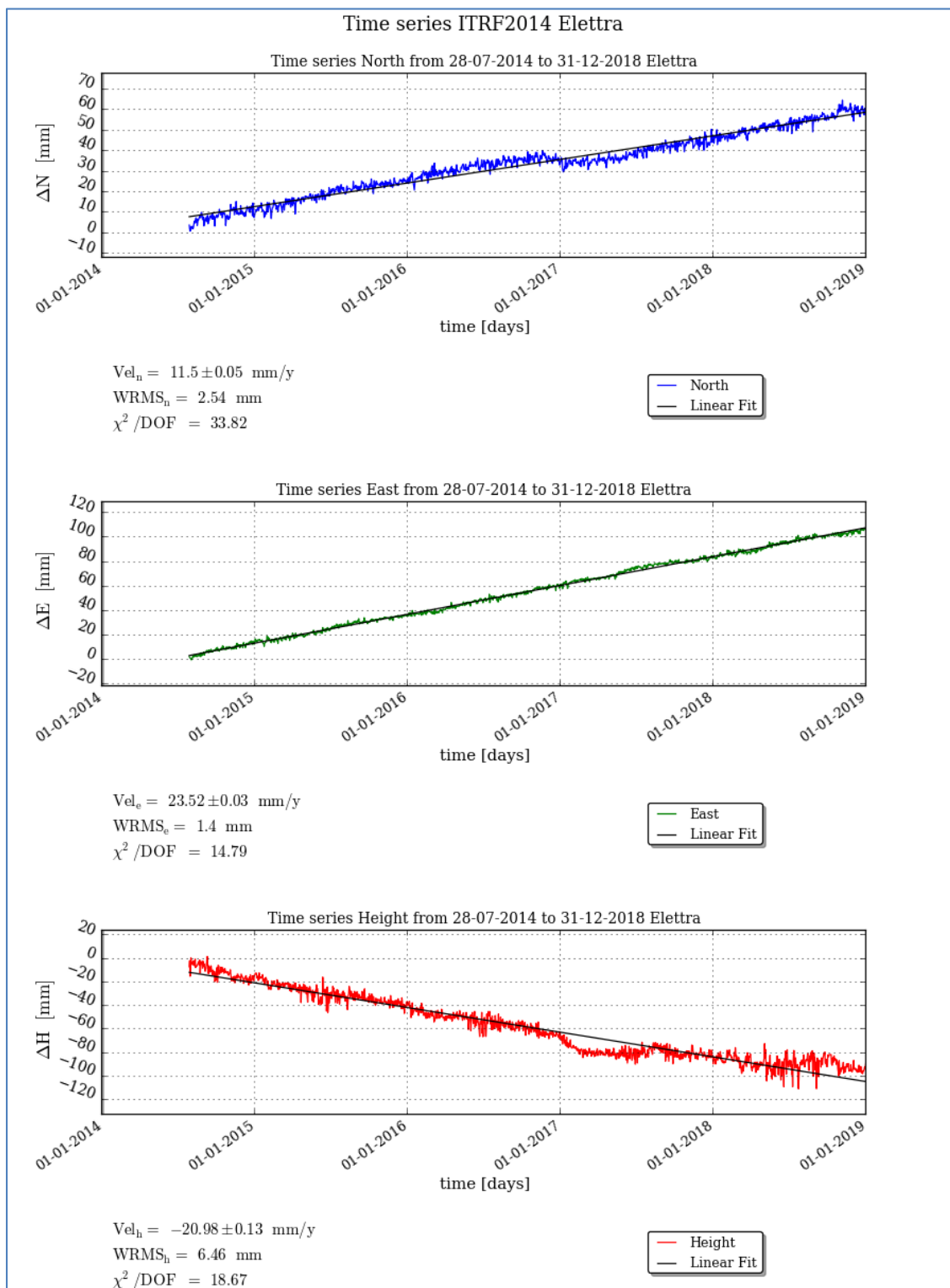


Figura 12 - Campo di Elettra: serie storiche di misure CGPS



CAMPO	Inizio produzione	Fine produzione (rif. ultimo profilo di produzione - Mod. Eclipse)	Riserve prodotte @ dic.2018	Max subsidenza prevista (Scenario di riferimento)	Ultimo aggiornamento studio	CGPS		
						inizio registrazione	vel.media (mm/a) @ dic.2018	mesi di registrazione
ANEMONE	1978	2018	100%	36 cm al 2018	2015	giu-07	-4.8	122
ANNALISA	2000	2021	98%	9 cm al 2027	2018	ott-07	-3.8	105
ANNAMARIA B	2009	2030	76%	163 cm al 2031	2017	gen-10	-107.0	105
BARBARA NW	1999	2035	77%	44 cm al 2029	2017	gen-08	-27.9	118
BONACCIA	1999	2026	93%	233 cm al 2073	2018	dic-07	-71.2	131
BONACCIA NW	2015					set-15	-50.1	39
CALIPSO	2002	2025	87%	84 cm al 2026	2017	nov-07	-14.1	128
CALPURNIA	2000	2022	99%	14 cm al 2015	2017	giu-07	-1.0	122
CLARA EST	2000	2038	67%	69 cm al 2061	2017	nov-07	-14.3	134
CLARA NW	2016			81 cm al 2038		mar-16	-25.5	33.5
CLARA NORD	2000	2021	99%	34 cm al 2016	2017	nov-07	-19.8	134
ELETTRA	2014	2029	64%	11 cm al 2061	2017	lug-14	-21.0	53
FAUZIA	2014	2020	98%	5 cm al 2068	2017	set-14	-5.0	51
GUENDALINA	2011	2022	84%	8.5 cm al 2055	2018	ago-11	-6.3	88
NAIDE	2005	2020	98%	8 cm al 2020	2017	giu-05	-3.7	162
NAOMI - PANDORA	2001	2037	52%	2.6 cm al 2049	2017	giu-02	-2.0	198
PCME (PMS)	2001	2014	100%	6.8 cm al 2026	2016	lug-05	-4.1	161
REGINA	1997	2030	98%	130 cm al 2061	2017	giu-07	-24.1	138
TEA - LAVANDA - ARNICA	2007	2018	104%	5 cm al 2018	2015	nov-07	-4.2	134

Figura 13 - Velocità medie di “subsidenza totale” calcolate per tutta la serie storica di misure

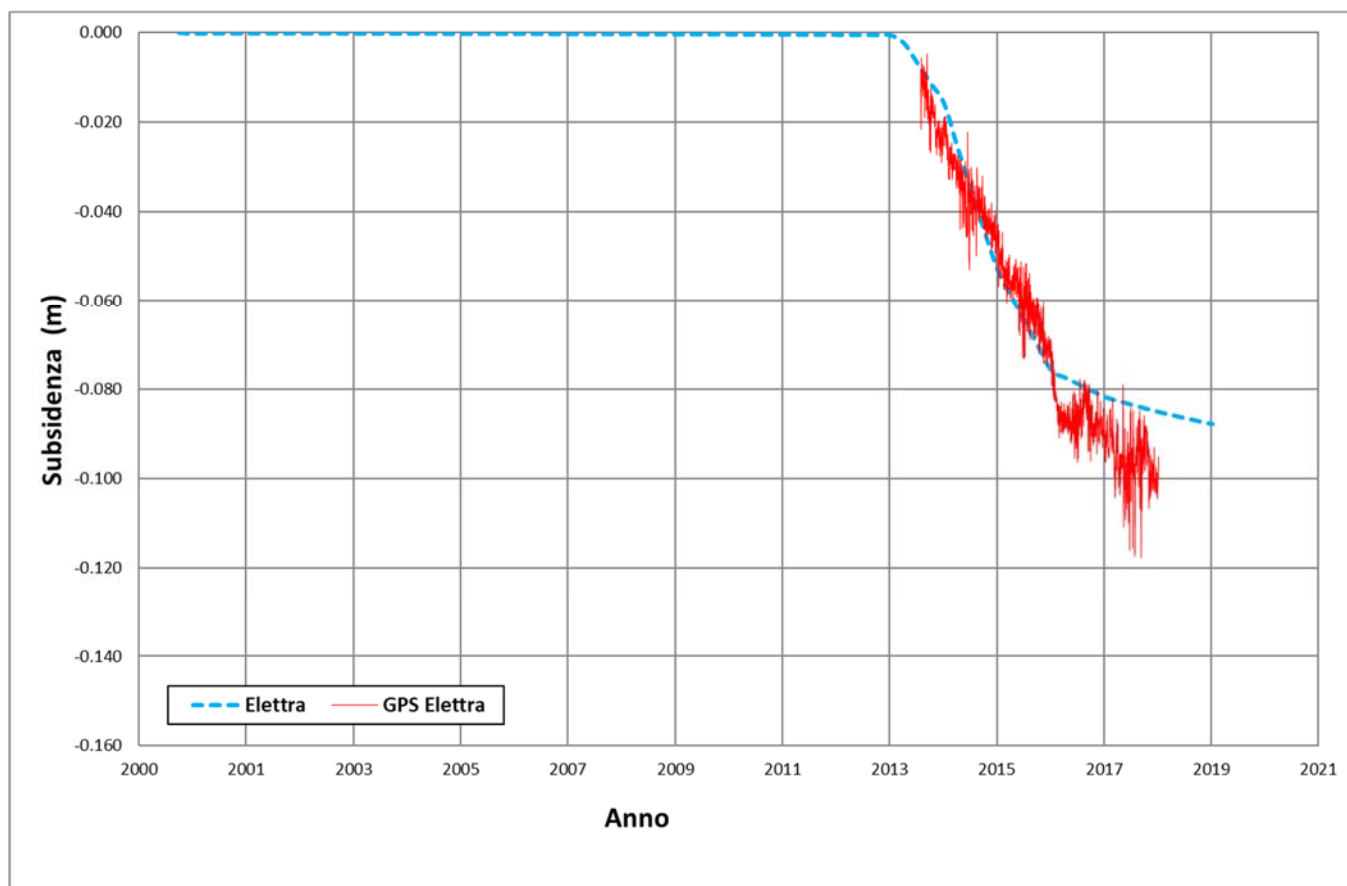


Figura 14 - Elettra: andamento della subsidenza misurata (CGPS in p.ma) vs. modello



campo ELETTRA (J.V. Eni 100%)			
DATI DI CAMPO		DEC. VIA n. 0000104 del 15 aprile 2013	
UBICAZIONE	offshore - 55 km E costa Pesaro - 80 m	AGGIORNAMENTO MODELLO DI GIACIMENTO E SUBSIDENZA (ELETTRA)	
PROFONDITA' FONDALE			
LITOLOGIA	terreni pioceni sabbiosiliciosi	SIA	
FORMAZIONE RESERVOIR	Formazione Carola - Sartemo	STUDIO DI GIACIMENTO	MOD. STATICO E DINAMICO ECLIPSE 3D "agosto 10"
ZONA MINERARIA	FLO1	RISERVE (MSm <sup>3</sup> )	470
PROFONDITA' RESERVOIR	666 - 1130 (TVDS)	MOD. GEOMECCANICO	ELEMENTI FINITI (F.E.M.) @ AGOSTO 2010
TIPO DI PIATTAFORMA	fissa monodivolare - BEAF	MAX SUBS AL CENTRO (cm)	16 @ 2054
CARATTERISTICHE GEOLOGICHE	torbidi sottili	DISTANZA DALLA COSTA (km)	#
			> 26 Km (linea isosubsidenza -2cm)
		ULTIMO AGGIORNAMENTO	
			541
			ELEMENTI FINITI (F.E.M.) @ DICEMBRE 2017
			11 @ 2061 - scenario CLP55
STATUS ATTUALE DEI MONITORAGGI			
CONCESSIONE	B.C23.AGAG	D.M @ apr '13	@ 31 dic 2018
DATA SCADENZA CONCESSIONE	21/09/2026		
N. POZZI		1	1
RISERVE TECNICHE A VITA INTERA (MSm <sup>3</sup> )		470	541
START UP PRODUZIONE	ago-14		
FINE PRODUZIONE PREVISTA		2025	2029
GAS PRODOTTO (MSm <sup>3</sup> )			348
% RISERVE PRODOTTE			64%
		<b>LIVELLAZIONI</b>	ACQUISTI I DATI DI LIVELLAZIONE SUL TRATTO DI COSTA (DORSALE ADRIATICA - PESARO-PORTO S. GIORGIO) ANTISTANTE IL CAMPO NEL PERIODO 1998-2009, 2011, 2014 e 2017. I DATI FINO AL 2017 SONO STATI CERTIFICATI DALL'UNIVERSITA' DI BOLOGNA - DICAM. IL PROSSIMO RILIEVO DI ENTRAMBE LE RETI DI LIVELLAZIONE (DORSALE ADRIATICA E PESARO-PORTO S. GIORGIO) SARA' EFFETTUATO NEL CORSO DEL 2020 NEL TRATTO DI COSTA ANTISTANTE IL GIACIMENTO.
		<b>MARKERS</b>	NON PRESCRITTI
		<b>CGPS</b>	NEL CORSO DEL 2014 E' STATO INSTALLATO UN CGPS IN PIATTAFORMA. NEL 2008 E' STATO INSTALLATO CGPS NELLA CENTRALE ENI DI FALCONARA (ONSHORE) NEL TRATTO DI COSTA ANTISTANTE LA PIATTAFORMA.
		<b>SAR</b>	ACQUISTO AGGIORNAMENTO COPERTURA SAR @ OTT. 2018 DEL TRATTO DI COSTA ANTISTANTE LA PIATTAFORMA PER ANALISI INTEGRATA DEI DATI ALTIMETRICI E PER L'INSERIMENTO DEI CAMPI DI TELA NEL PROGRAMMA DI MONITORAGGIO DELLA SUBSIDENZA ATTUALMENTE IN CORSO IN MOLTI GIACIMENTI DELL'ADRIATICO.

Figura 15 - Campo di Elettra: scheda di sintesi dati campo

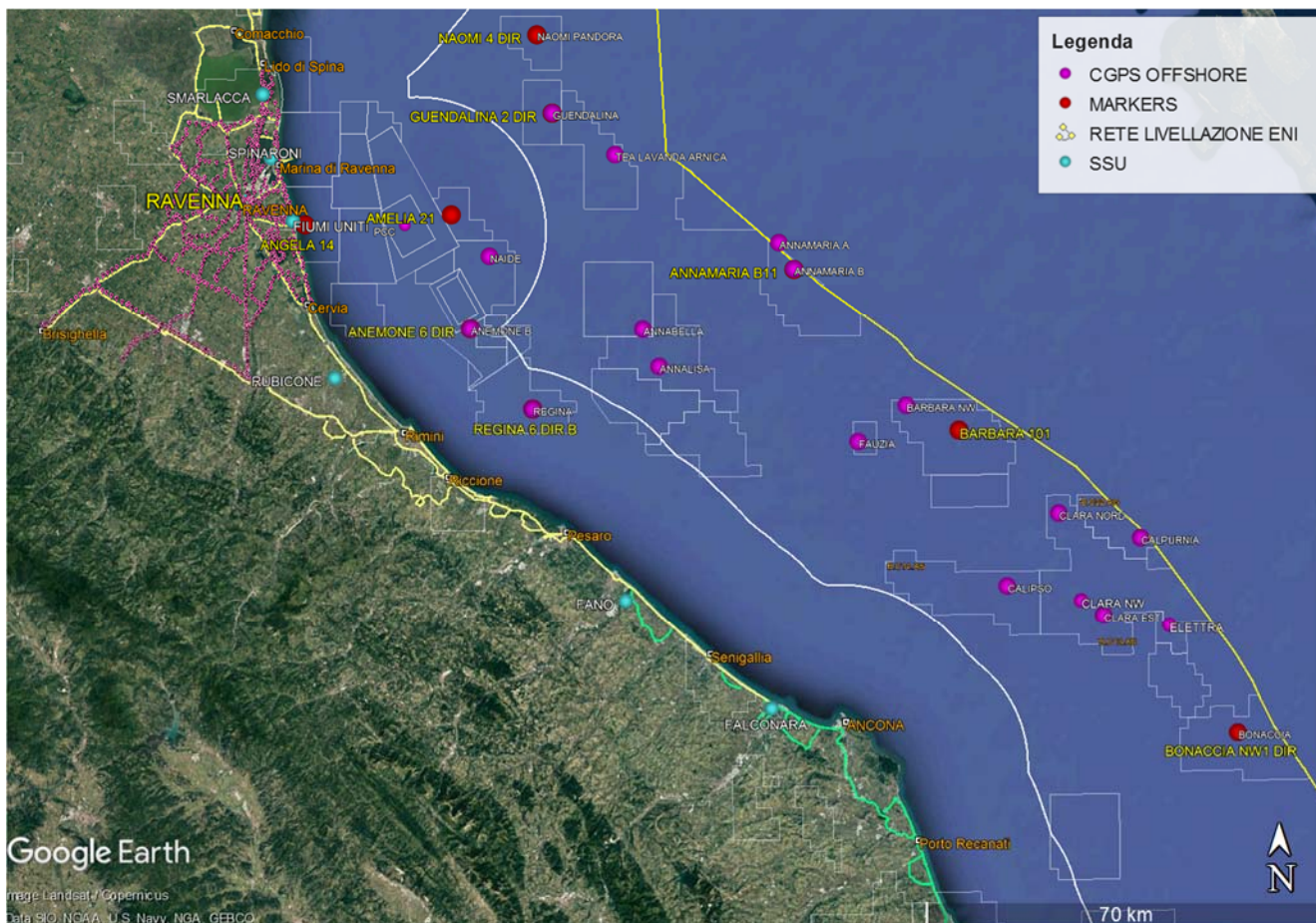


Figura 16 - Particolare della rete di monitoraggio Eni

## Appendice A: aggiornamento dati SAR 2003-2018

Le elaborazioni dei dati InSAR per il periodo 2003 - 2018 sono state effettuate con lo stesso algoritmo rispetto all'elaborazione dell'anno precedente.

In seguito verrà descritto con maggior dettaglio l'algoritmo utilizzato (vedi nota a fondo paragrafo "Tecnica PSP-DIFSAR"), cercando di mettere in luce le differenze dei principali algoritmi utilizzati in interferometria radar.

### Analisi dati InSAR 2003 – 2018

L'analisi dei dati SAR ha interessato una serie di data-set, elaborati in fase di processamento in modo tale da garantire continuità spaziale dei dati.

Da un'analisi delle differenze tra le velocità medie annuali misurate dai CGPS presenti nell'area di interesse e quelle dei PS (Permanent Scatterer) presenti in un intorno di circa 300 m centrato nel corrispondente CGPS (Tab. 1), si è scelto di accorpare i data-set in due macro-aree, in modo tale che la taratura del dato InSAR minimizzi le differenze tra quest'ultimo e le misure CGPS.

In Tab. 1 vengono presentate: le velocità verticali dei CGPS,  $V_{vert\_CGPS}$ , e il corrispondente scarto quadratico medio  $sqm\_CGPS$  (colonna 3 e 4); la media delle velocità verticali dei Permanent Scatterer nell'intorno avente come centro il CGPS corrispondente  $Media\_V\_SAR$ , e il corrispondente scarto quadratico medio  $sqm\_SAR$  (colonna 5 e 6); la differenza tra le velocità CGPS e SAR e il relativo scarto quadratico medio (colonne 7 e 8). Tutte le misure sono in millimetri/anno.

	CGPS	$V_{vert\_CGPS}$ [mm/yr]	$sqm\_CGPS$ [mm/yr]	$Media\_V\_SAR$ [mm/yr]	$sqm\_SAR$ [mm/yr]	$Diff\_VEL$ $CGPS-SAR$ [mm/yr]	$sqm\_diff$ [mm/yr]
RAVENNA	MANARA	-3.00	0.01	-0.43	0.60	-2.57	0.61
	<b>SMARLACCA</b>	<b>-6.33</b>	<b>0.01</b>	<b>-3.41</b>	<b>1.09</b>	<b>-2.92</b>	<b>1.10</b>
	SPINARONI	-7.50	0.01	-4.34	0.97	-3.16	0.98
	FIUMI UNITI	-14.13	0.02	-11.51	2.47	-2.62	2.49
FANO- ANCONA	RUBICONE	-2.54	0.04	-3.13	2.01	0.59	2.05
	FANO	0.13	0.02	0.17	0.69	-0.04	0.71
	FALCONARA	-0.28	0.03	-0.23	1.43	-0.05	1.46
	ITALGAS	-0.06	0.03	0.41	1.35	-0.47	1.38

Tab. 1. Taratura dato InSAR con misure CGPS

Come si può vedere in Tab. 1 le differenze di velocità tra dati CGPS e le velocità medie di dati InSAR rappresentati nella penultima colonna hanno andamenti diversi nell'intera area, con differenze che si aggirano intorno 3 mm/anno di media per i primi 4 CGPS, mentre per gli ultimi 4 CGPS si notano differenze massime intorno al mezzo millimetro. Di conseguenza si è scelto di mosaicare i diversi data-set in due macro-aree (Fig.1):

- Area di Ravenna
- Area di Fano-Ancona

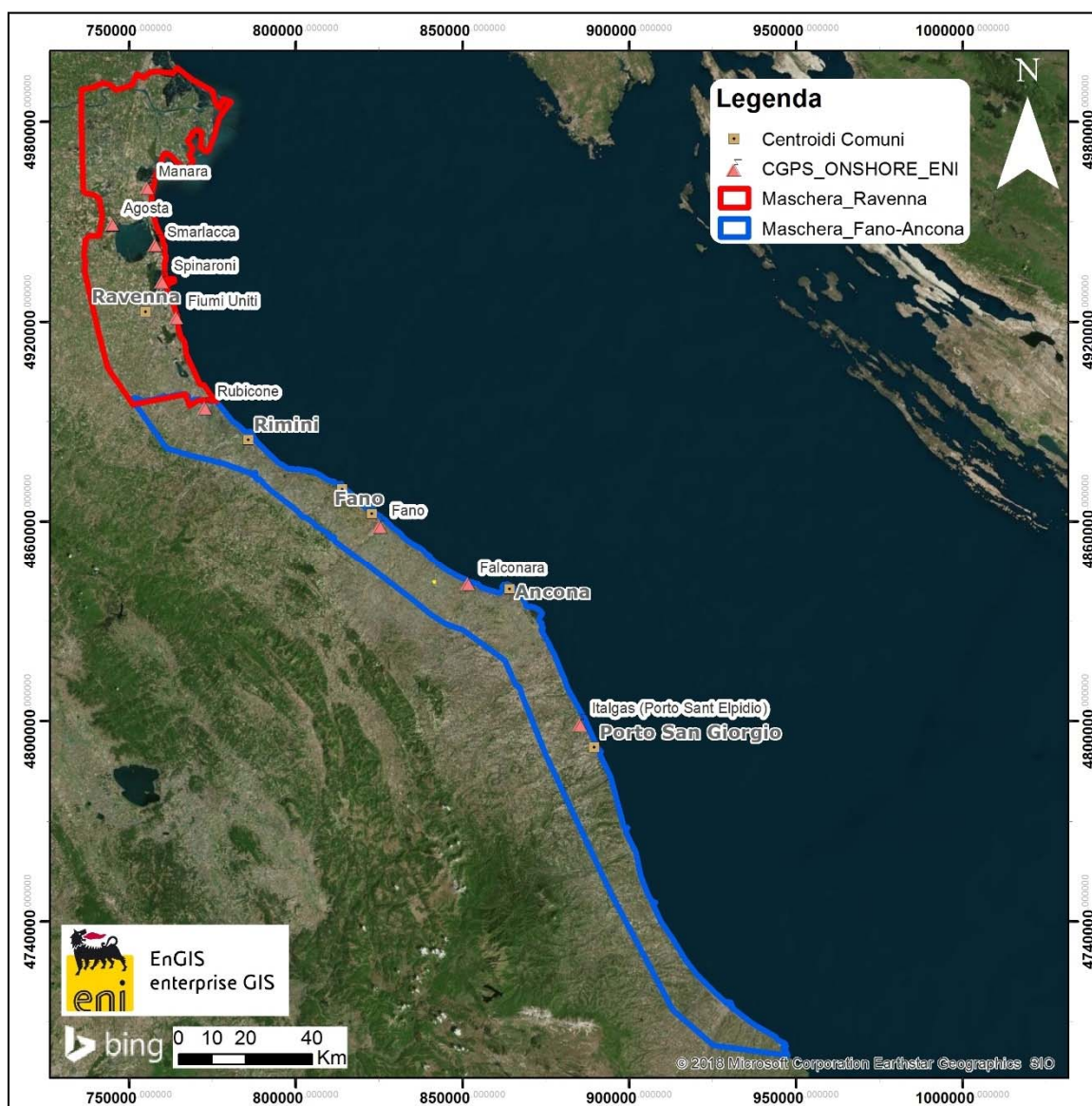


Fig. 1 – Mappa mosaicata dati InSAR





Complessivamente risultano presenti le seguenti stazioni CGPS afferenti alla rete eni:

1. Area Ravenna: Manara, Smarlacca, Spinaroni, Fiumi Uniti
2. Area Fano-Ancona: Rubicone, Fano, Falconara, Italgas

Il processo di calibrazione è stato realizzato utilizzando le informazioni derivanti dalle stazioni di monitoraggio CGPS esistenti all'interno delle aree analizzate, partendo dalle stazioni che presentano una serie storica più consistente (Smarlacca, Spinaroni e Fiumi Uniti). Si è realizzata quindi la calibrazione dei dati SAR partendo dall'area più a nord (area Ravennate), utilizzando i dati di velocità della stazione di Smarlacca; i dati delle stazioni di Fiumi Uniti e di Spinaroni e di tutte le altre stazioni, sono stati utilizzati esclusivamente come valore di verifica dei risultati ottenuti con la calibrazione.

La determinazione delle velocità verticali con dati CGPS è stata calcolata sulla serie storica totale del dato, che per quanto riguarda le postazioni di Smarlacca, Spinaroni e Fiumi Uniti ha un inizio di acquisizione leggermente anteriore rispetto a quello dei dati SAR.

Queste velocità così calcolate hanno una differenza sotto il decimo di millimetro, rispetto a quelle calcolate sullo stesso periodo di acquisizione, da considerarsi pertanto trascurabile ai fini di questo studio. L'analisi dei dati SAR non calibrati, relativi all'area ravennate nell'intorno della stazione CGPS di Smarlacca per un raggio di 300 metri, ha evidenziato una velocità media pari a  $-3.41 \pm 1.09$  mm/anno. Considerando la velocità determinata con il CGPS di  $-6.33 \pm 0.01$  mm/anno, si rileva una differenza di  $-2.92 \pm 1.10$  mm/anno.

Per questo motivo ai valori di velocità media della componente verticale determinata con il monitoraggio SAR, è stato aggiunto il valore di  $-2.92 \pm 1.10$  mm/anno. Successivamente sono stati confrontati i punti SAR, che ricadevano in un intorno di raggio pari a 300 m, rispetto ai CGPS di Manara, Fiumi Uniti e Spinaroni. Il confronto mostra delle differenze, tra i singoli CGPS e i dati SAR calibrati, sotto il mezzo millimetro: ciò conferma la validità della calibrazione effettuata. In Fig. 2 si possono visualizzare i dati InSAR ottenuti a valle del processo di calibrazione, interpolati con un algoritmo di IDW (Inverse Distance Weighted) con Tool ArcGis Spatial Analyst® per l'area di Ravenna nel tratto di costa da Porto Tolle a Cesenatico.

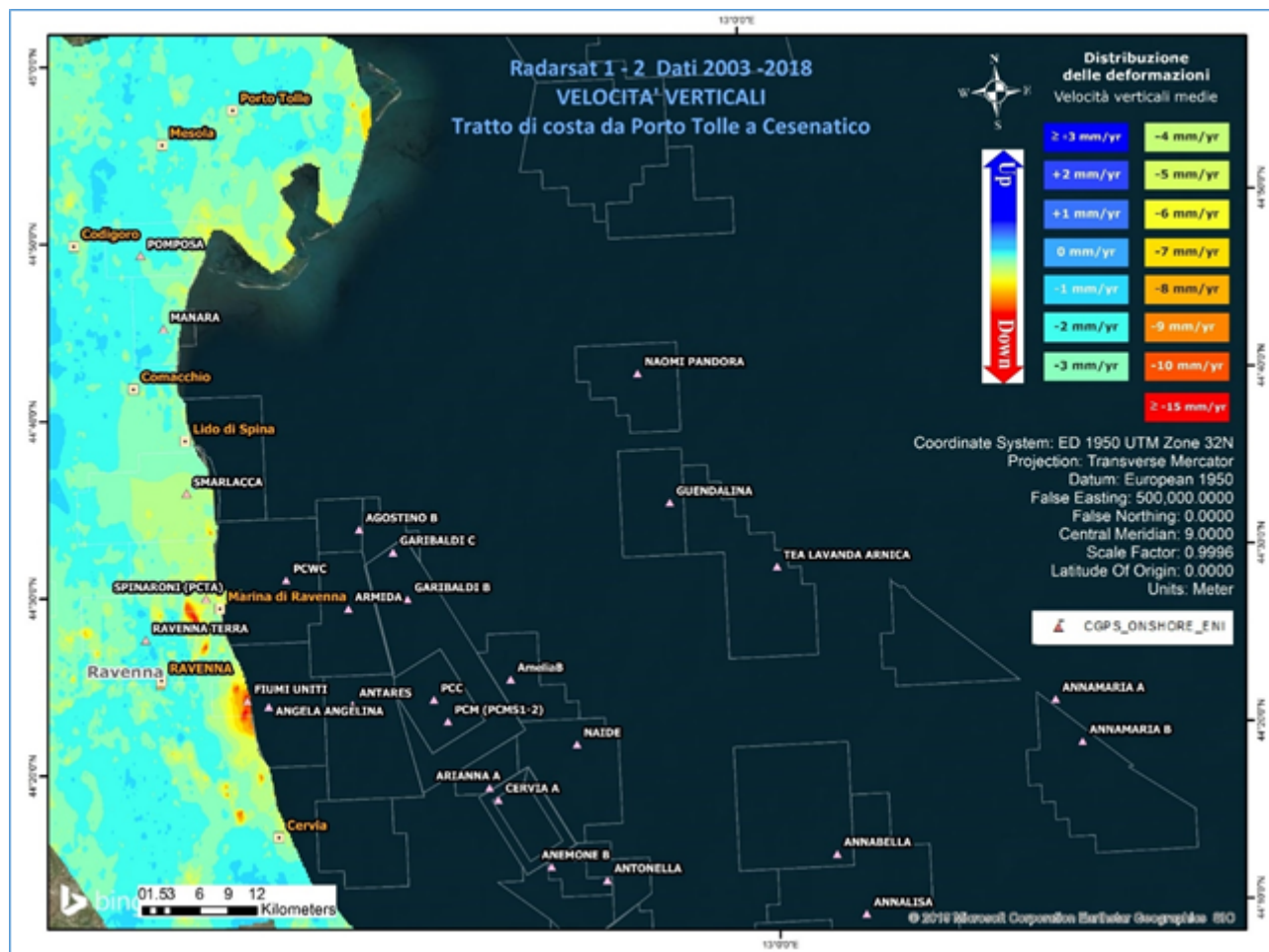


Fig. 2 - Interpolazione IDW (Inverse Distance Weighted) dei dati Radarsat 1 -2, per il periodo 2003 – 2018, con Tool ArcGis Spatial Analyst®. Tratto di costa da Porto Tolle a Cesenatico.

Come già effettuato nel 2018, l'altro data set (Area di Fano-Ancona, vedi Fig.1), verrà analizzato separatamente dall'area ravennate in quanto è stata rilevata una coerenza delle misure SAR con le misure delle stazioni CGPS interne a ciascun area.

Analizzando l'area SAR di Fano-Ancona, si evidenzia come le velocità dei CGPS di Rubicone, Fano, Falconara e Italgas siano allineate con le velocità misurate dal SAR, con uno scarto inferiore al millimetro (Tab. 1). Si fa presente che per il confronto viene considerato un intorno di circa 300 m, e la velocità dei dati SAR è una media delle velocità verticali dei Permanent Scatterer (PS) che ricadono all'interno di questo intorno. Considerata l'esiguità della differenza tra il valore misurato dal CGPS di FANO e quella del dato SAR ( $-0.04 \pm 0.71$  mm/anno), non si è ritenuto necessario eseguire una calibrazione. Come è possibile notare in Tab.1 per i vari CGPS presenti nell'area il confronto mostra

delle differenze rispetto ai dati SAR puri di circa mezzo millimetro in media. In Fig.3 è visualizzata l'interpolazione dei dati mosaicati, per l'area Fano-Ancona nel tratto di costa da Rimini ad Ortona. L'interpolatore utilizzato è l'algoritmo di IDW (Inverse Distance Weighted) con Tool ArcGis Spatial Analyst®.

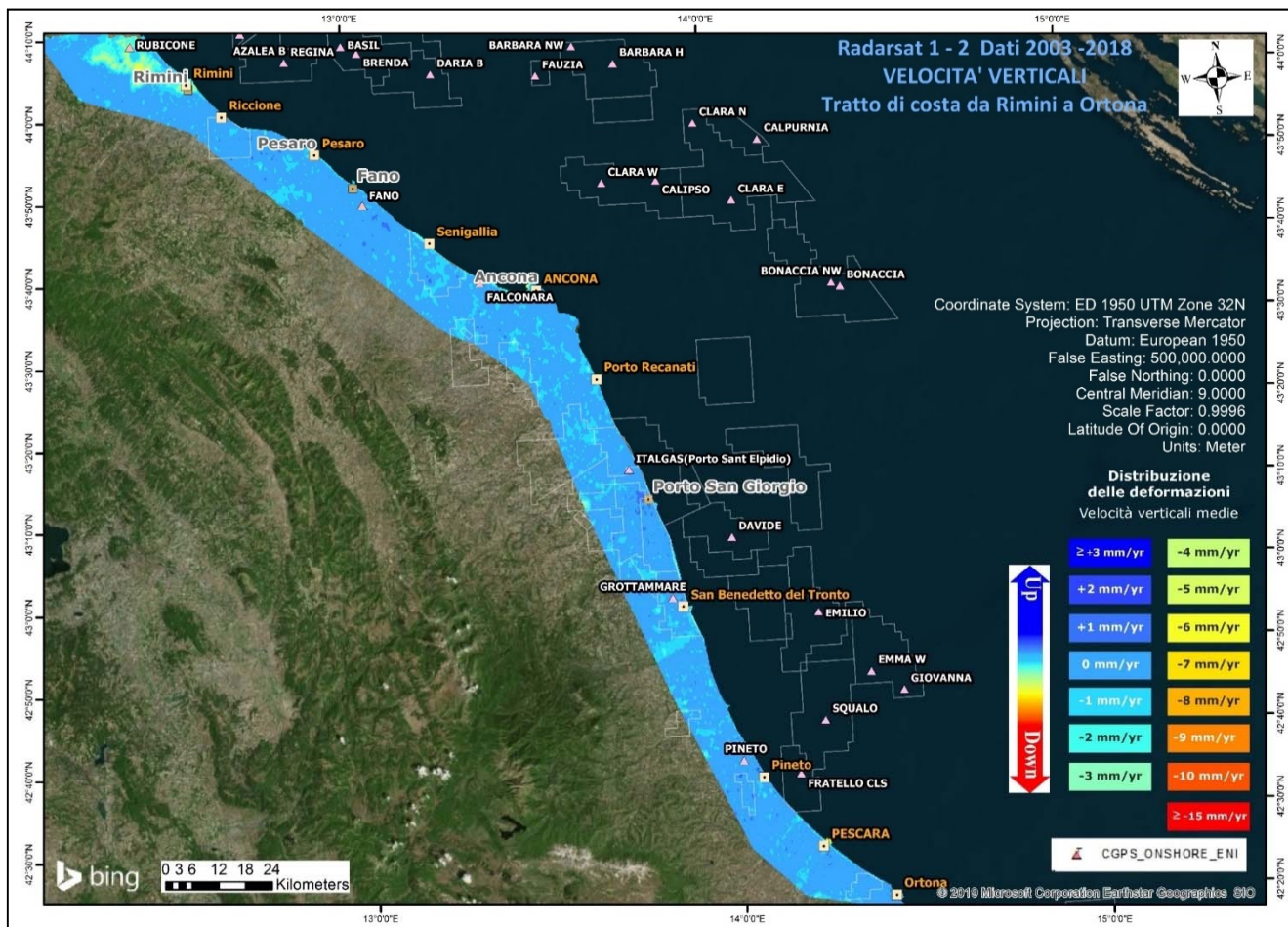


Fig. 3 - Interpolazione IDW (Inverse Distance Weighted) dei dati Radarsat 1 -2, per il periodo 2003 – 2018, con Tool ArcGis Spatial Analyst®. Tratto di costa da Rimini ad Ortona.

## Confronto dati SAR 2003 – 2017 vs 2003 – 2018

Il processo di sottrazione tra IDW 2018 e IDW 2017 permette di evidenziare graficamente eventuali differenze nell'andamento medio delle velocità verticali.

Come mostrato in Fig. 4 e Fig. 5 la sottrazione tra i due IDW non mostra differenze importanti, ed in ogni caso rientranti all'interno della deviazione standard dichiarata. Per quanto riguarda punti spot che mostrano differenze più marcate (come ad esempio un'area a ovest di Comacchio o una ad est di Porto Tolle), da un'attenta analisi del dato si è riscontrato come si tratti di aree in cui i dati SAR sono assenti o molto esigui, per cui l'interpolazione IDW ha generato un dato non attendibile per un anno o il successivo, da cui differenze non realistiche.

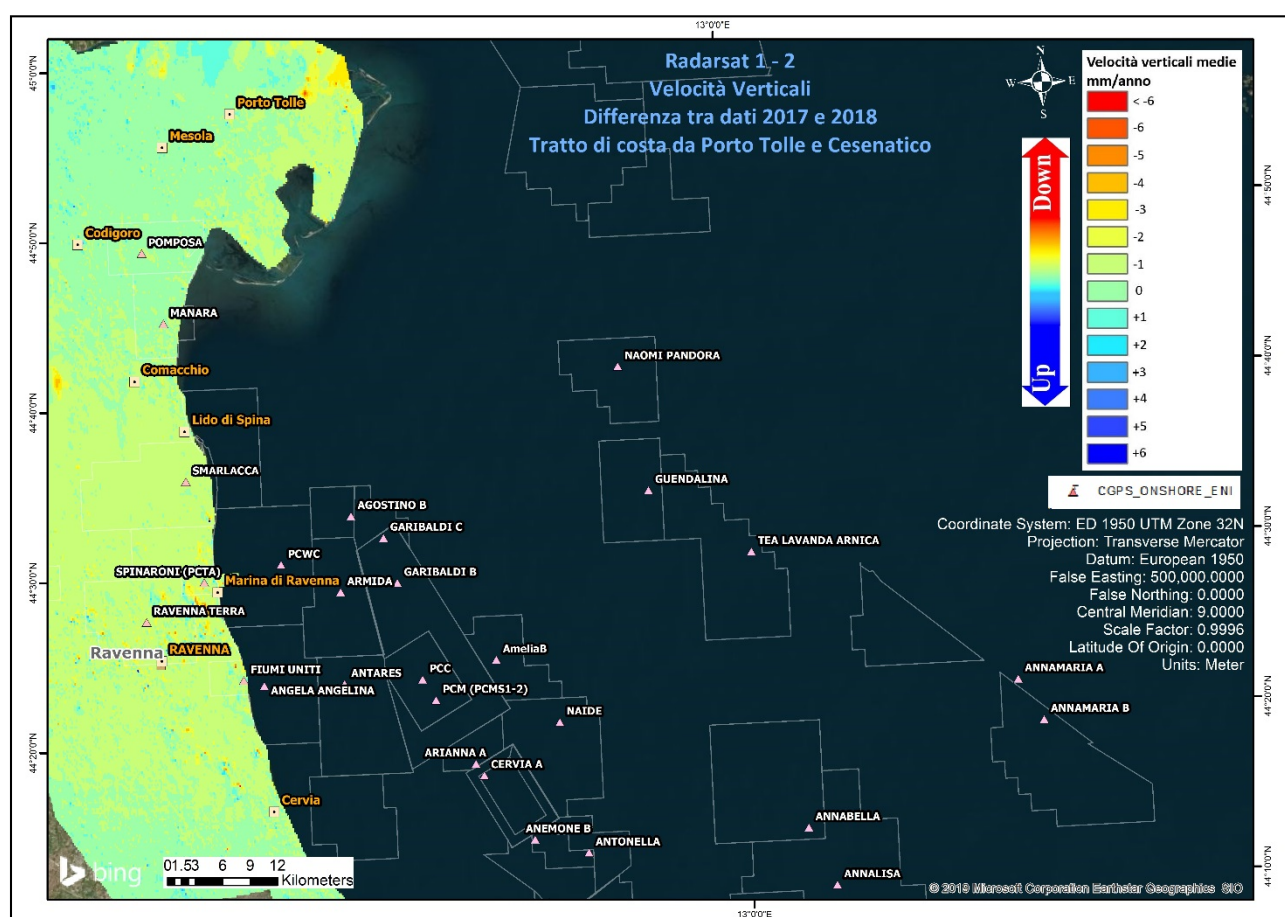


Fig. 4 – Mappa delle differenze prodotta tra il database 2003-2017 e il 2003-2018, utilizzando il Tool Math – Spatial Analyst® di ArcGIS™. Tratto di costa da Porto Tolle a Cesenatico.

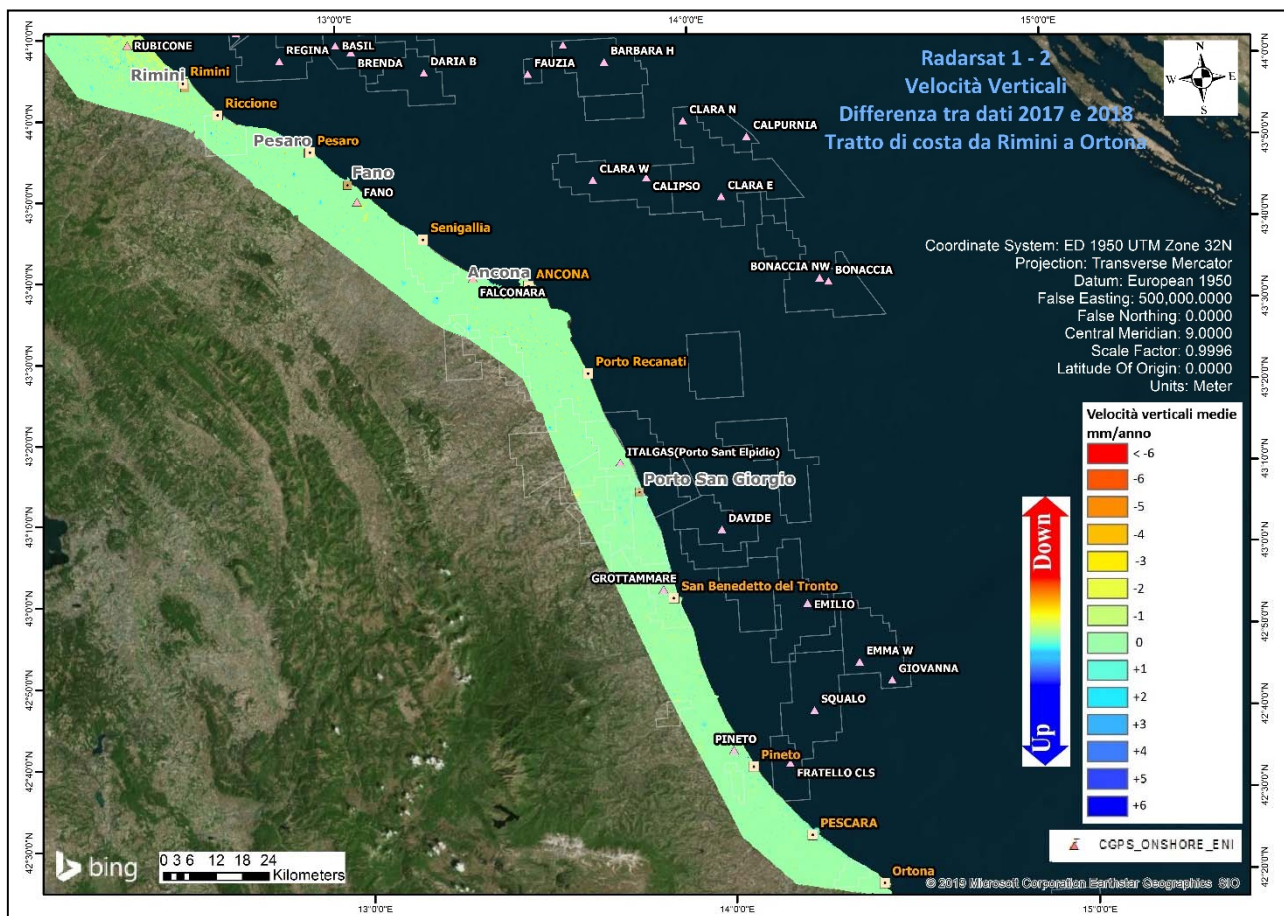


Fig. 5 – Mappa delle differenze prodotta tra il database 2003-2017 e il 2003-2018, utilizzando il Tool Math – Spatial Analyst® di ArcGIS™. Tratto di costa da Rimini a Ortona.

### Tecnica PSP-DIFSAR (Estratto dalle Linee guida MATTM 2009)

La tecnologia interferometrica PSP-DIFSAR sviluppata da Telespazio/e-GEOS (<http://www.telespazio.it> / <http://www.e-geos.it>) è una tecnica d'interferometria differenziale SAR di tipo Persistent Scatterer Interferometry (PSI) che utilizza una procedura algoritmica proprietaria per l'individuazione e l'analisi dei Persistent Scatterer (PS) su lunghe serie di immagini SAR (radar ad apertura sintetica), allo scopo di misurare movimenti lenti del terreno dovuti a frane, subsidenza, fenomeni vulcanici e sismici (Costantini et al., 2005). I PS corrispondono generalmente ad elementi al suolo, come manufatti (ad esempio, parti di edifici, antenne, tralicci, elementi metallici in genere) oppure corpi naturali (ad esempio, rocce esposte) che si distinguono dagli altri, presenti nell'area esaminata, per il fatto di possedere un'elevata stabilità nel tempo della cosiddetta "firma radar". Questi punti



presentano caratteristiche tali da permettere misure estremamente accurate della distanza sensore-bersaglio così da poter evidenziare spostamenti relativi dei PS nel tempo anche solo di pochi millimetri. L'interferometria differenziale si basa su un sensore SAR a bordo di un satellite che invia un impulso elettromagnetico verso la superficie terrestre e riceve il segnale retrodiffuso. Misurando il ritardo di fase tra il segnale inviato e quello retrodiffuso si può determinare con estrema precisione la distanza tra il sensore ed il bersaglio. Se l'oggetto si trova in un'area soggetta a fenomeni di deformazione superficiale, il sensore, passando in istanti successivi sulla stessa area di interesse, rileva tra un'acquisizione e l'altra una variazione di distanza. Questo dato, dopo una complessa elaborazione per l'identificazione dei punti di misura e la rimozione dei contributi spuri (ritardi atmosferici, imprecisione nella conoscenza delle orbite, ecc.), rende possibili misure estremamente accurate di eventuali spostamenti superficiali lenti dell'area di interesse. Una delle peculiarità del metodo PSP è quella di sfruttare solo le proprietà del segnale relative a coppie di punti vicini, sia per identificare sia per analizzare i Persistent Scatterer. Infatti, due punti vicini sono affetti allo stesso modo da artefatti atmosferici ed orbitali, ed in generale da tutti i contributi correlati spazialmente (anche i movimenti non lineari nel tempo). Il metodo PSP presenta le seguenti differenze rispetto alle tecniche PSI standard: non richiede calibrazione dei dati o interpolazioni basate su modelli (in particolare per la rimozione degli artefatti atmosferici ed orbitali) è meno sensibile alla densità dei PS e permette una migliore identificazione dei PS in terreni naturali e dei PS caratterizzati da movimenti non lineari nel tempo; in aggiunta è computazionalmente efficiente ed altamente parallelizzabile. La densità dei PS individuati è solitamente molto elevata in corrispondenza dei centri urbani e di aree rocciose mentre è praticamente nulla nelle zone vegetate o perennemente innevate. L'insieme dei PS sul territorio costituisce una rete naturale di "capisaldi radar", concettualmente analoga ad una rete di stazioni GPS (Global Positioning System) permanente. La loro densità su scala regionale è però ordini di grandezza superiore a quanto ottenibile con reti geodetiche convenzionali, fornendo un quadro d'insieme a costi decisamente più bassi rispetto a queste, dato che il sensore rileva punti di misura che non richiedono alcun intervento di installazione e manutenzione trovandosi già sul terreno.

## Appendice B: Stazioni *EPSU* lungo la fascia costiera compresa tra Cervia e Ancona - aggiornamento a dicembre 2018

Il monitoraggio della compattazione superficiale lungo la fascia costiera adriatica compresa tra Cervia e Ancona, è effettuato tramite 3 stazioni *EPSU* (Extensometric Piezometric Survey Unit) denominate: Rubicone, Fano e Falconara. L'ubicazione di tali stazioni, installate tra il 2008 e il 2009, è riportata in Figura 1B.

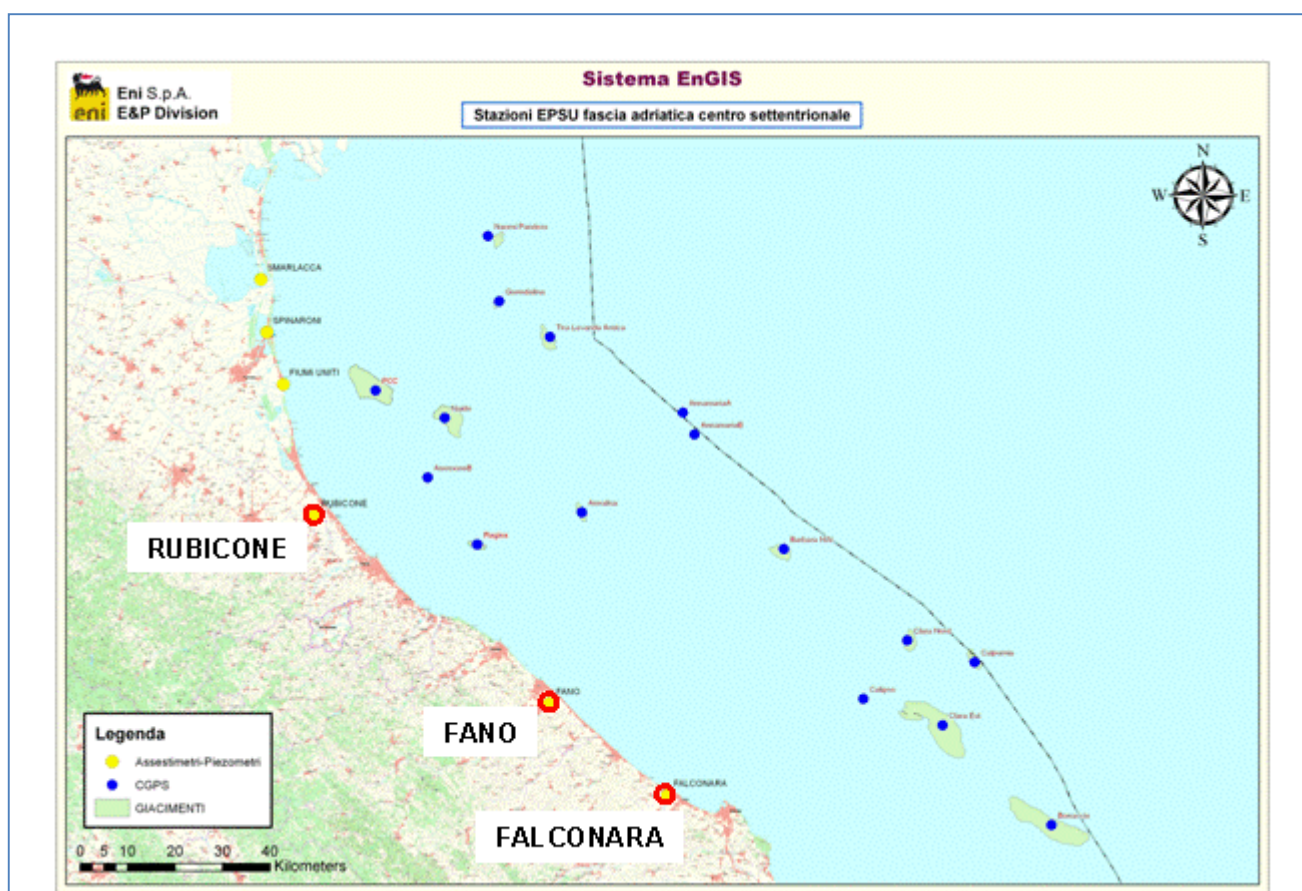


Figura 1B - Ubicazione delle stazioni *EPSU*

In generale una stazione *EPSU* è costituita da un assestometro, associato a uno o più piezometri, con il corredo di strumentazione meteorologica per la misura della temperatura e della pressione atmosferica (termometri sia in foro che in superficie, e un barometro in modo da compensare le misure assestimetriche per le variazioni della temperatura e pressione atmosferica) come schematicamente rappresentato in Figura 2B.

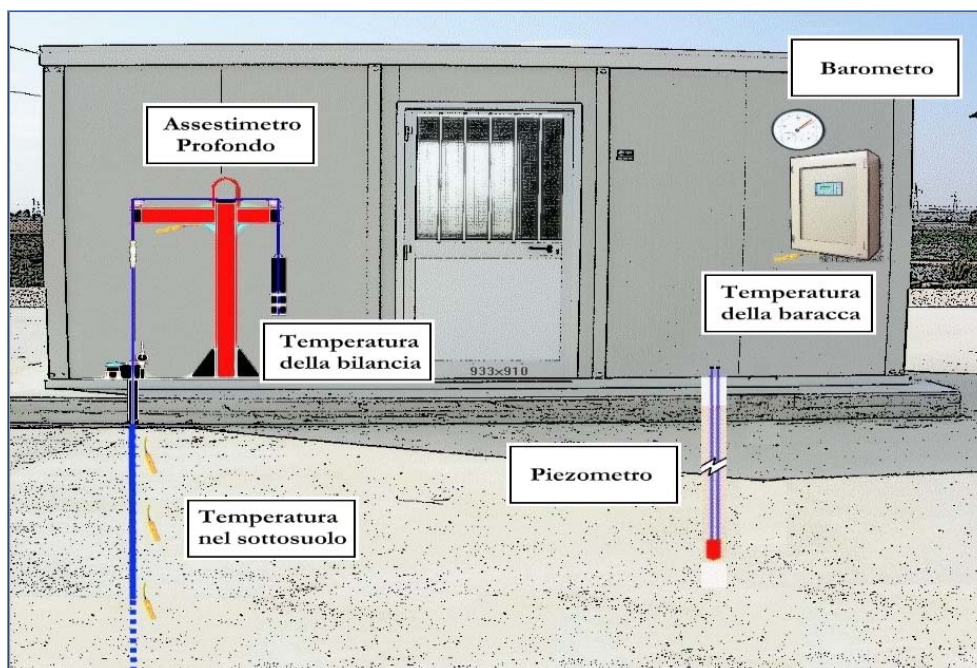


Figura 2B - Rappresentazione schematica di una stazione EPSU

Più in dettaglio, nelle 3 stazioni *EPSU* sono stati installati i seguenti dispositivi di misura:

Località	Pozzo	Strumentazione	Profondità (da P.C.)	Data d'installazione
Rubicone	CGRA-1	Assestimetro profondo	320 m	Gen. 2009
	CGRP-1	Piezometro cella singola	178 m	Gen. 2009
	CGRP-2	Piezometro cella doppia	146 m e 70 m	Gen. 2009
Fano	CGFNA-1	Assestimetro superficiale	40,8 m	Lug. 2008
	CGFNP-1	Piezometro superficiale	6,1 m	Lug. 2008
Falconara	CGFLA-1	Assestimetro superficiale	40,3 m	Lug. 2008
	CGFLP-1	Piezometro cella singola	22 m	Lug. 2008

Per ciascuna stazione *EPSU* vengono di seguito presentati:

1. le principali caratteristiche;
2. grafici con tutti i dati registrati.

**N.B.:** Nella lettura dei dati riportati sui grafici relativi agli assestimetri, i valori positivi costituiscono la componente della compattazione (riduzione dello spessore dello strato di sottosuolo attraversato dall'assestimetro); al contrario i valori negativi costituiscono la componente dell'espansione (aumento dello spessore dello strato di sottosuolo attraversato dall'assestimetro).





## **Stazione *EPSU* di RUBICONE (installata dicembre 2009)**

### **Strumentazione:**

- assestometro - quota bottom: 320 m da p.c.
- piezometro singolo - quota cella: 178 m da p.c.
- piezometro doppio - quota celle: 146 e 70 m da p.c.

La strumentazione messa in opera nella stazione è illustrata schematicamente nella Figura 3B e Figura 4B, mentre la Figura 5B presenta in dettaglio la litologia dei terreni attraversati dal pozzetto assestimetrico. Le coordinate WGS84 della stazione sono: 44°09' 6.76"N e 12° 24' 36.37"E. La raccolta dati è iniziata l'8 aprile 2009. A tale data (in occasione del collaudo) è stato fatto "lo zero" dei sensori di misura.

I dati sono stati acquisiti con regolarità secondo la seguente frequenza:

- 08 aprile 2009 - 22 maggio 2009: una misura ogni ora;
- 22 maggio 2009 - 2 novembre 2009: una misura ogni 2 ore;
- dal 02 novembre 2009: una misura ogni 6 ore.

Le misure sono state fatte con alimentazione a batteria fino al 22 maggio 2009. Da tale data fino al 14 luglio 2009 non si hanno registrazioni a causa dei lavori di messa a norma della baracca secondo la normativa ATEX. Dal 14 luglio è ripreso il normale ciclo di funzionamento della stazione. Nel 2011 c'è da segnalare un blackout di dati per mancanza di alimentazione dell'apparecchiatura tra il 29 settembre e il 14 ottobre.

A dicembre 2017 è stata fatta manutenzione straordinaria dei tre piezometri con spurgo e lavaggio dei piezometri della stazione. Per i due piezometri ubicati sulla stessa verticale - quello superficiale e l'intermedio (70 e 146 m da p.c.) - il lavaggio con acqua in pressione ha consentito di escludere che vi era comunicazione idraulica fra gli stessi. Le celle e i tubi di tutti e tre i piezometri (tipo Casagrande) sono risultati perfettamente integri: le letture manuali, effettuate subito dopo lo spurgo e durante la fase di ricarica della falda, sono risultate attendibili presentando per tutti i piezometri un dislivello massimo tra i due tubi compreso tra 0 e 1 cm. Tutti i piezometri revisionati sono risultati integri e affidabili per restituzione dei dati. L'ultima verifica generale della strumentazione, con controlli manuali dei livelli piezometrici e taratura di tutti i sensori è stata fatta in giugno, luglio e ottobre 2018.



## Analisi dei dati assestimetrici

L'assestimetro misura la compattazione degli strati di terreno compresi tra il piano campagna (p.c.) e il punto più profondo d'ancoraggio dello strumento (320 m da p.c.).

Nei grafici allegati (Figura 6B) sono riportati per un confronto sia i dati piezometrici, sia quelli assestimetrici. I dati relativi all'assestimetro sono espressi in millimetri e riportano gli spostamenti misurati rispetto a un valore base iniziale ("misura di zero").

Tale misura è quella dell'8 aprile 2009, data di collaudo del sistema. I valori positivi degli spostamenti nel grafico dell'assestimetro indicano una compattazione, quelli negativi, viceversa, un incremento dello spessore (cioè espansione) degli strati di terreno monitorati. Nel caso della stazione di Rubicone, l'andamento nel tempo della curva di compattazione/espansione registrata dall'assestimetro si correla molto bene con le variazioni di livello dell'acqua nelle tre falde monitorate dai piezometri rispettivamente a 70 m, 146 m e 178 m di profondità.

Per tutto il periodo osservato si nota, infatti, un ritardo medio di circa 1.5÷2 mesi nella espansione/compattazione del terreno rispetto all'escursione massima (marzo/aprile) e minima (agosto/settembre) dei livelli di tali falde, Figura 7B confronto delle misure piezometrica profonda e assestimetrica dell'ultimo anno.

Nella stessa area della stazione assestimetrica è installata anche una postazione CGPS. Ciò ha permesso un confronto fra la velocità media d'abbassamento del suolo rilevata dai dati CGPS con quella di compattazione del terreno ottenuta dalle misure assestimetriche (Figura 8B). Tali velocità, che si riferiscono però a fenomeni fisici diversi anche se collegati fra loro, sono risultate in sostanziale accordo, soprattutto a partire dal 2012. La velocità media annua, calcolata con regressione lineare, della serie storica di misure CGPS è di -2.54 mm/a, abbastanza prossima a quella ottenuta, in modo analogo, dalle misure assestimetriche, che è pari a -2.81 mm/a.

Ciò potrebbe indicare che la causa principale d'abbassamento del suolo dipenda principalmente dalla compattazione dei primi 320 m di terreno e sia indotta dalle oscillazioni stagionali del livello delle falde acquifere e/o dal loro emungimento.



Si segnala, inoltre, che per comodità di lettura del grafico:

- le misure del CGPS sono state filtrate con una media mobile su 50 campioni per meglio evidenziarne l'andamento;
- i valori della curva assestimetrica sono stati riportati in ordine inverso, così da renderne l'andamento coerente quello della curva CGPS (spostamenti delle curve verso l'alto indicano sollevamenti del terreno e viceversa).

### **Analisi dei dati piezometrici**

Nei grafici dei piezometri (Figura 6B) l'ordinata è la quota piezometrica (m), ovvero la profondità del livello dell'acqua all'interno del tubo piezometrico riferita al piano campagna. Nello stesso grafico (come seconda ordinata) è riportato il valore della pressione barometrica.

Nel caso di Rubicone si notano delle effervescenze gassose nei tubi piezometrici causate dalla presenza di piccole quantità di gas nell'acqua; il fenomeno del resto era già osservato durante le operazioni di messa in opera dell'attrezzatura. Queste piccole effervescenze causano differenze di misura dei livelli d'acqua nei due tubi del piezometro profondo (pozzo CGRP-1). Nel mese di ottobre 2012 si sono puliti e controllati i 3 piezometri verificando il loro buon funzionamento. Un nuovo spurgo è stato fatto a fine settembre 2014 e si può osservare dai grafici dei piezometri, soprattutto per la curva relativa a quello superficiale, che a partire da tale data si è modificata la dinamica dell'escursione del livello dell'acqua.

A dicembre 2017, come già detto, è stata fatta una manutenzione straordinaria con spurgo e lavaggio dei tre piezometri. Sono stati controllati anche tutti i trasduttori di pressione. L'affidabilità di questi ultimi, in particolare, è stata accertata facendo diverse misure manuali con freatometro. Queste sono risultate del tutto in linea con le misure automatiche, consentendo di concludere che tutti i trasduttori erano perfettamente funzionanti e affidabili. Nella stessa occasione sono state fatte misure di fondo foro.

Nel corso del 2018, controlli sulla strumentazione piezometrica sono stati effettuati nei mesi di giugno, luglio ed ottobre, nel controllo di giugno è stato sostituito un trasduttore di pressione del piezometro a 178m. Ad oggi (dicembre 2018) tutti i piezometri e relativi trasduttori, risultano integri ed in grado di fornire dati attendibili.

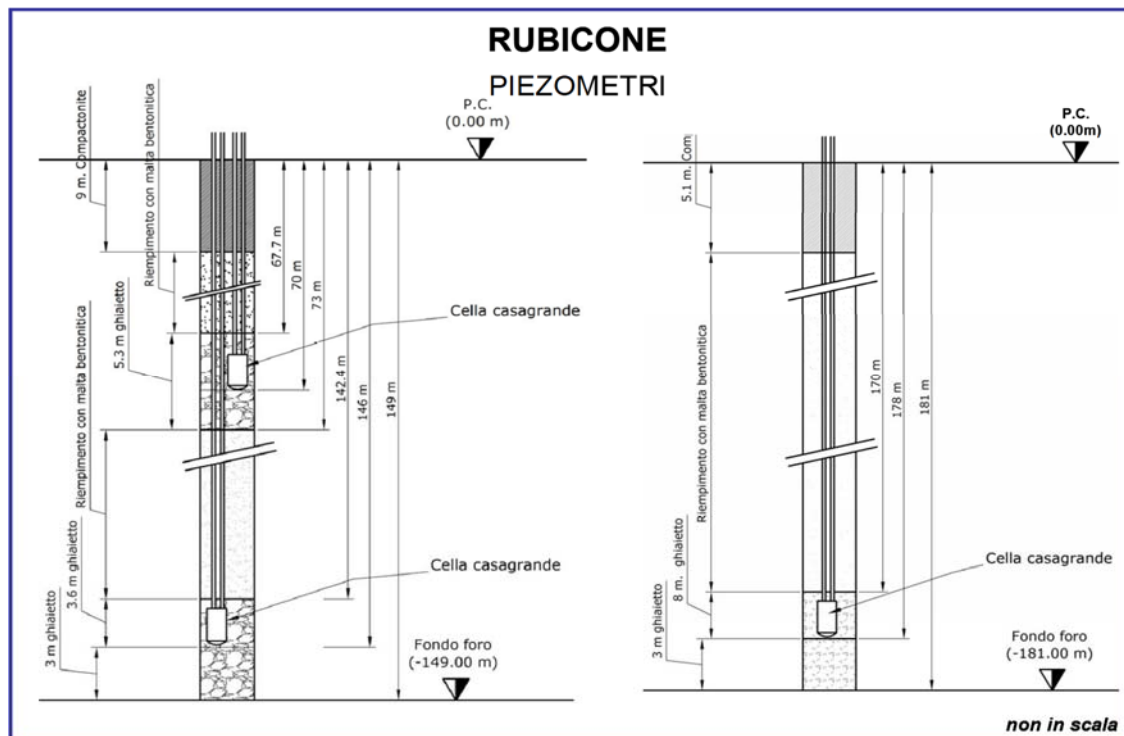


Figura 3B - Schema della stazione EPSU di Rubicone

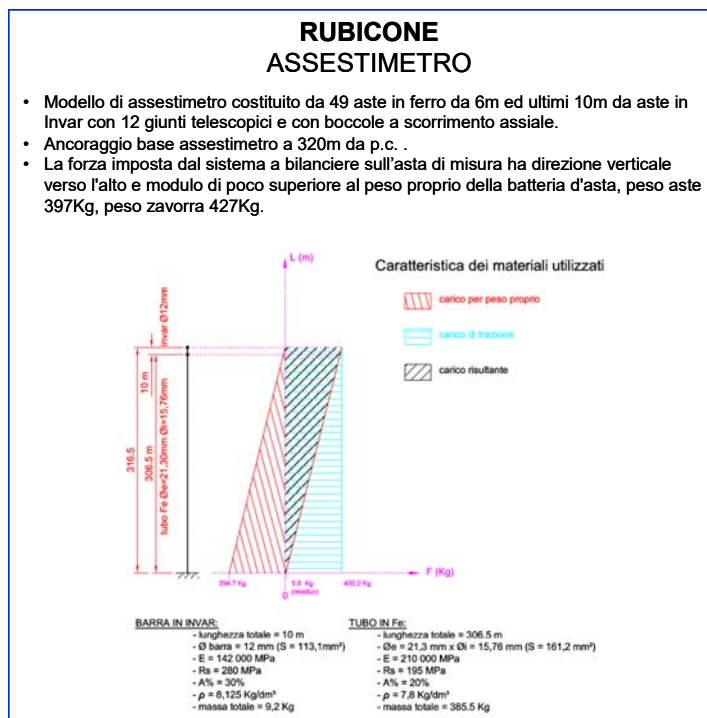


Figura 4B - Particolare di un assestimetro

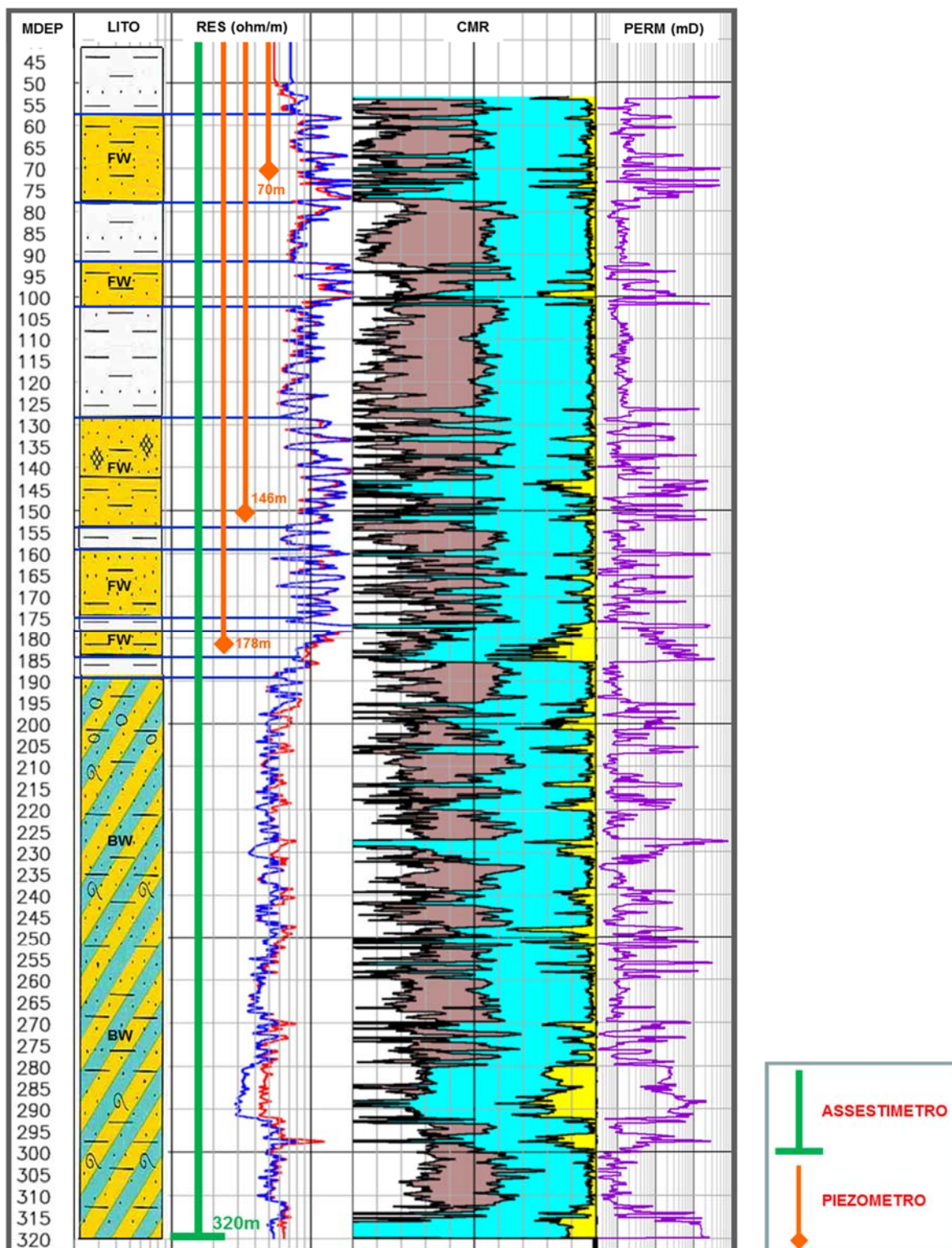


Figura 5B - Litologia dei terreni monitorati dalla stazione EPSU di Rubicone

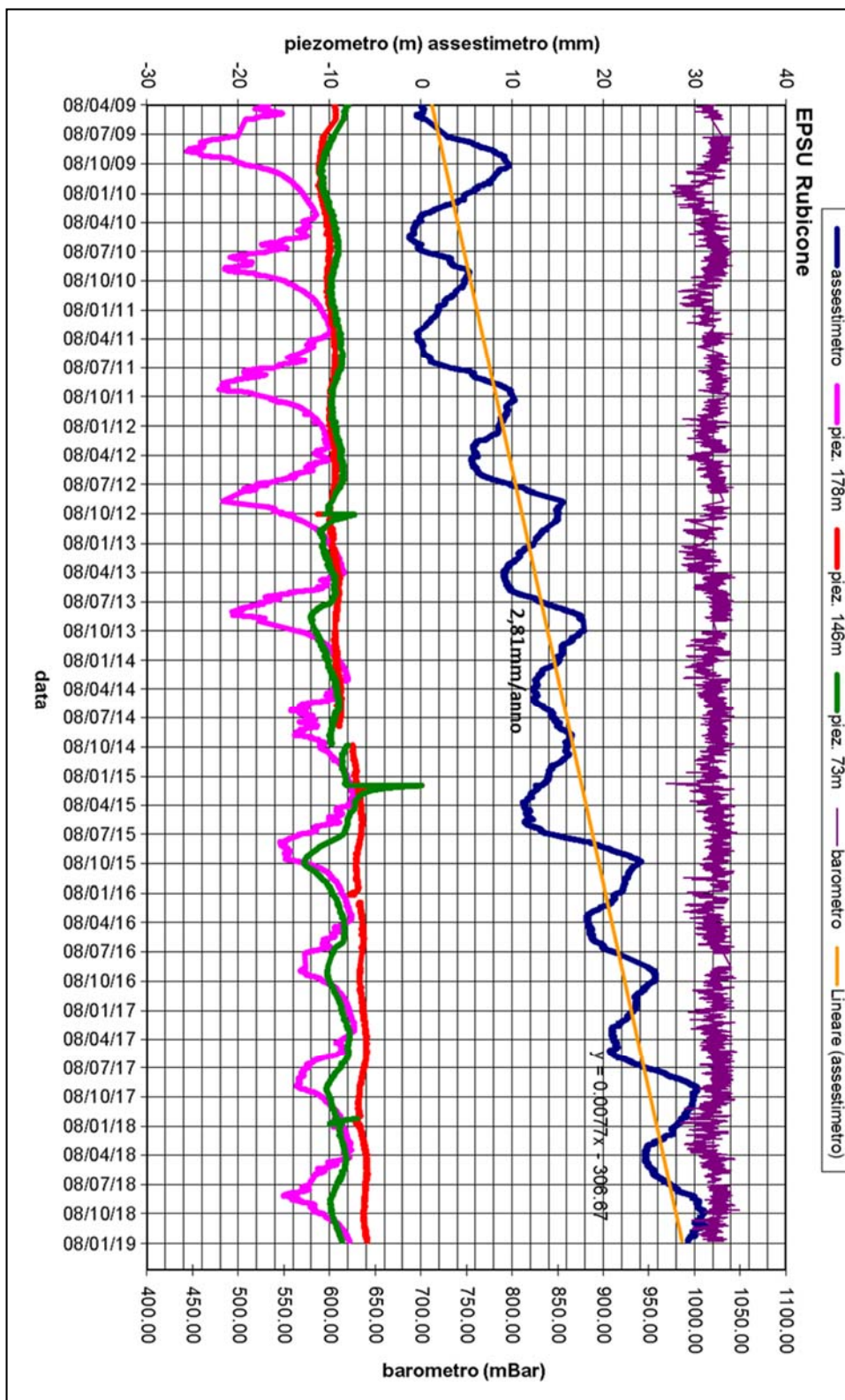


Figura 6B - Stazione EPSU di Rubicone: misure piezometrico-assestimetriche

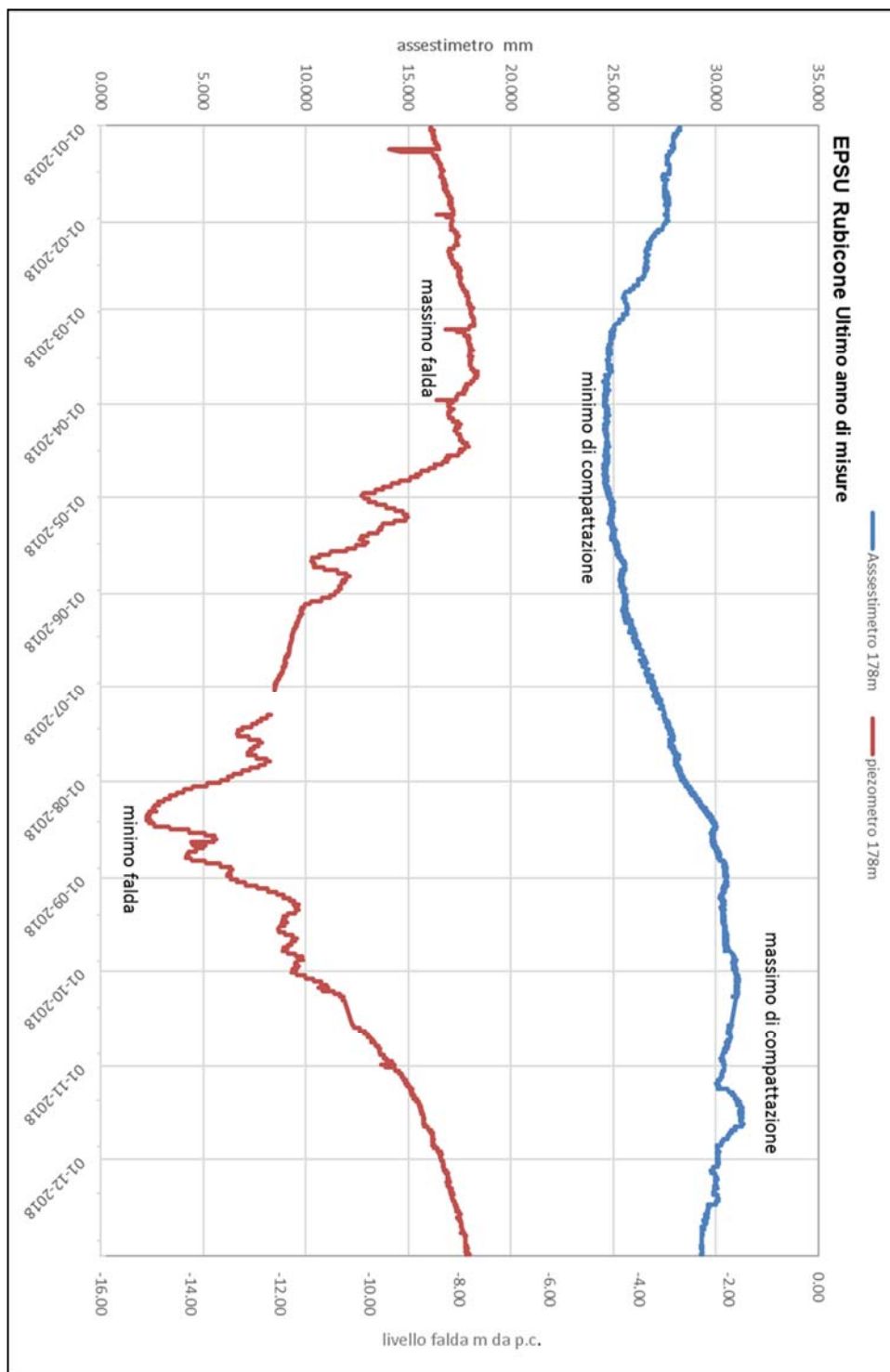
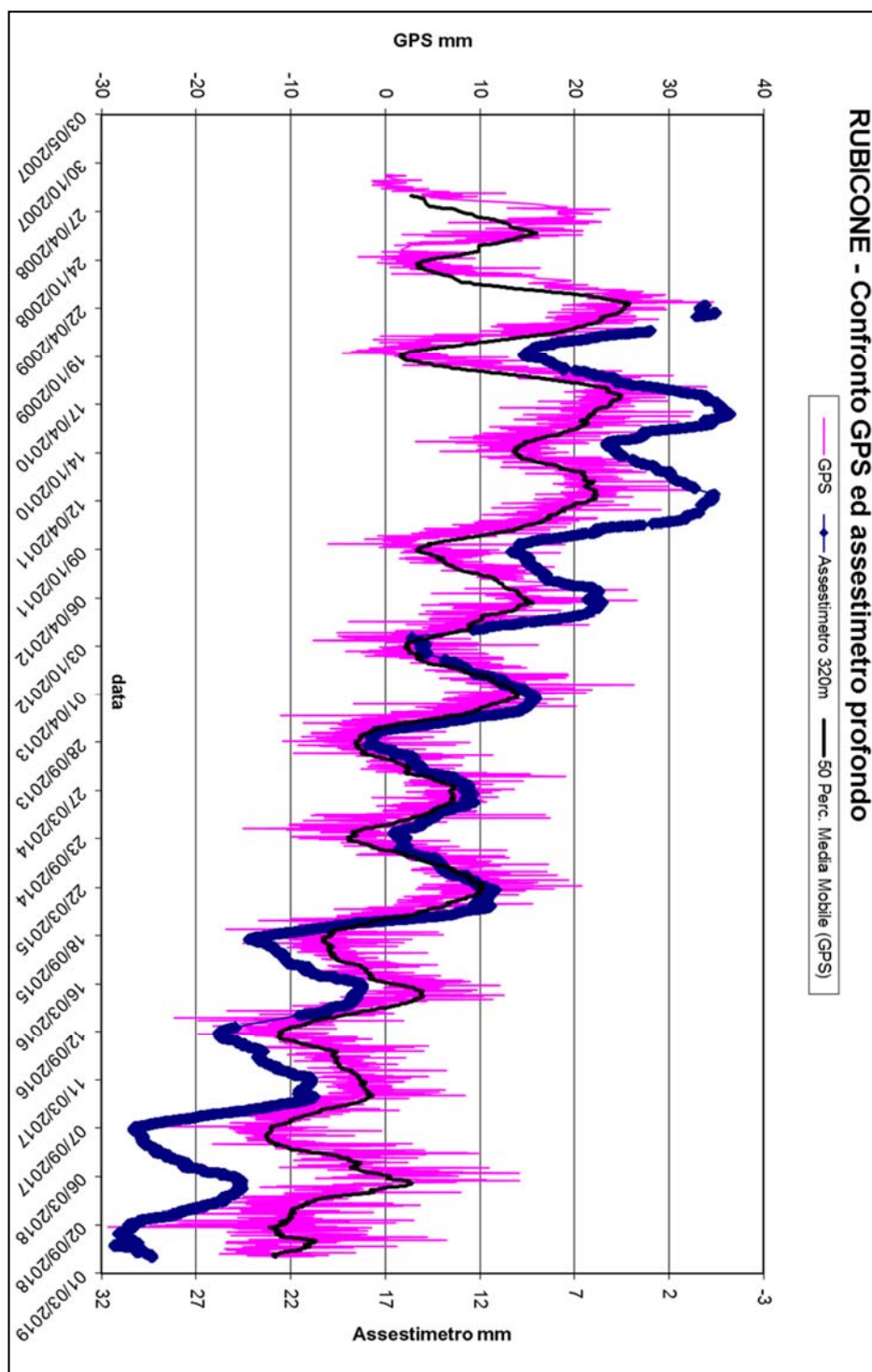


Figura 7B - Stazione EPSU di Rubicone: misure piezometrico-assestometriche



**Figura 8B - Stazione EPSU di Rubicone: confronto misure CGPS vs. misure piezometrico-assestimetriche**

*N.B.: nel grafico per meglio apprezzare le modulazioni della curva CGPS questa è stata filtrata con una media mobile su 50 campioni. Per comodità la curva assestimetrica è stata graficata con i valori in ordine inverso, in modo da renderla coerente con le modulazioni del CGPS (spostamenti delle curve verso l'alto indicano sollevamenti del terreno e viceversa).*



## **Stazione EPSU di FANO (installata ottobre 2008)**

### **Strumentazione:**

- assestimetro - quota bottom: 40.8 m da p.c.
- piezometro a cella singola: quota cella 6.1 m da p.c.

Lo schema della strumentazione messa in opera nella stazione è illustrato nella Figura 9B mentre la Figura 10B riporta la litologia dei terreni attraversati dal pozzetto assestimetrico.

Le coordinate WGS84 della stazione sono: 43° 48' 28.37"N e 13° 02' 25.78"E.

La raccolta dati di questa stazione è iniziata il 16 ottobre 2008. In tale data (in occasione del collaudo) è stato fatto "lo zero" per tutti i sensori di misura.

L'acquisizione dati è stata fatta con regolarità secondo la seguente frequenza:

- 16 ottobre 2008 - 18 maggio 2009 una misura ogni ora;
- 19 maggio 2009 - 31 dicembre 2016 una misura ogni 6 ore.

Nel periodo monitorato (10/2008 - 12/2017) non si sono notate anomalie né a livello sensoristico, né a livello di apparecchiatura d'acquisizione dati.

L'ultimo controllo generale della strumentazione, con misure manuali dei livelli piezometrici e taratura di tutti i sensori, è stato fatto nel corso del 2018.

### **Analisi dei dati assestimetrici**

L'assestimetro misura la compattazione degli strati di terreno compresi tra la superficie (p.c.) e il punto più profondo d'ancoraggio dello strumento (40.8 m da p.c.).

Nei grafici allegati (Figura 11B) sono riportati per un confronto sia i dati piezometrici, sia quelli assestimetrici. I dati relativi all'assestimetro sono espressi in millimetri e riportano gli spostamenti misurati rispetto a un valore base iniziale ("misura di zero"). Tale misura è quella del 16 ottobre 2008, data di collaudo del sistema. I valori positivi degli spostamenti nel grafico dell'assestimetro indicano una compattazione e, viceversa, quelli negativi un incremento dello spessore (i.e. espansione) degli strati di terreno monitorati.

Sin dall'inizio della sua installazione, lo strumento non ha mai fatto registrare significative variazioni di spessore (compattazioni o espansioni) della porzione di terreno monitorato. Le escursioni cicliche stagionali, infatti, sono dell'ordine di  $\pm 1$  mm, con una punta massima



di compattazione di circa 1.5 mm registrata all'inizio del 2012.

La curva assestimetrica, inoltre, si correla bene con l'andamento del livello della falda acquifera monitorata dal piezometro posto a circa 6 m dal piano campagna, anche se con uno sfasamento temporale (ritardo dell'assestimetro rispetto ai minimi piezometrici) di qualche mese. Si osservano, infatti, quasi regolarmente i massimi di compattazione all'incirca a metà gennaio di ogni anno, mentre invece i minimi livelli della falda acquifera si verificano, quasi sempre, circa quattro mesi prima, ovvero intorno a metà settembre.

Nel corso del 2018 si è assistito a un ciclo simile agli anni precedenti, senza significative variazioni; una compattazione di circa 1 mm a inizio anno (metà gennaio) è stata quasi del tutto recuperata da una successiva espansione estiva (metà luglio/inizio agosto), per ritornare poi a un valore di circa 1 mm (compattazione) nel periodo autunno-invernale.

Alla fine del 2018 l'assestimetro registra, quindi di nuovo, una compattazione di ca. 1 mm con, una compattazione complessiva totale nell'anno quasi nulla (Figura 12B).

Se si prendono in esame tutte le misure assestimetriche registrate nei 10 anni e poco più di osservazioni in questa stazione, queste ultime mostrano, analogamente a quelle della stazione più a sud di Falconara, una situazione del terreno sostanzialmente stabile, con una compattazione complessiva pressoché nulla (-0.007mm/anno), a parte le variazioni cicliche stagionali.

Un comportamento del terreno pressoché identico è registrato dal CGPS ubicato in prossimità della stazione *EPSU*. Le misure CGPS danno, infatti, la superficie del suolo in leggero innalzamento con velocità media di ca. 0.1 mm/a. A sua volta la velocità media di compattazione stimata con regressione lineare dei dati della serie assestimetrica è praticamente nulla (0,007 mm/a). L'esame comparato delle due serie di misure assestimetriche e da CGPS (Figura 13B) mostra come queste abbiano gli stessi andamenti oscillatori ma sfasati nel tempo. In particolare, la curva assestimetrica sembra essere ritardata di ca. 4-5 mesi rispetto a quella del CGPS. È bene osservare, però, che si tratta di movimenti del suolo di bassissima entità, per cui si è al limite del potere risolutivo delle due tecniche di misura.

Passando al confronto con la piezometria, si nota che entrambe le curve assestimetrica e CGPS mostrano una buona correlazione con gli andamenti stagionali della falda. La curva assestimetrica si presenta, però, sfasata anche rispetto a quella piezometrica, raggiungendo il minimo (massima espansione) circa quattro mesi dopo il massimo del livello piezometrico (Figura 11B e Figura 12B). Questo comportamento potrebbe essere spiegato dal ritar-



do con cui si contrae o rigonfia un grosso strato d'argilla di circa 32 m (Figura 10B) quando varia la sua saturazione in acqua. La presenza di tale strato d'argilla è stata rilevata durante la perforazione del foro assestimetrico. La curva dei dati CGPS sembra invece più in fase nel registrare in superficie i movimenti d'espansione o contrazione degli strati di terreno causati dalle variazioni del livello d'acqua nella falda (sollevamento del terreno in coincidenza dei massimi della falda). Va però notato che l'ubicazione dell'antenna CGPS (stazione SSU) dista circa 150-200 m dalla stazione *EPSU*, e probabilmente il terreno su cui è stata installata ha una stratigrafia caratterizzata da una minore presenza di livelli argillosi.

Si segnala, inoltre, che per comodità di lettura del grafico (Figura 13B):

- le misure del CGPS sono state filtrate con una media mobile su 50 campioni per meglio evidenziarne l'andamento;
- i valori della curva assestimetrica sono stati riportati in ordine inverso, così da renderne l'andamento coerente quello della curva CGPS (spostamenti delle curve verso l'alto indicano sollevamenti del terreno e viceversa).

## **Analisi dei dati piezometrici**

Nello stesso grafico (Figura 11B) dei dati assestimetrici si è riportata la piezometria.

Nel grafico del piezometro l'ordinata è la quota piezometrica (in m), ovvero la profondità del livello dell'acqua all'interno del tubo piezometrico riferita al piano campagna. Nello stesso grafico (come seconda ordinata) è riportato il valore della pressione barometrica.

L'installazione di due trasduttori di pressione, uno per ogni canna del piezometro Casa-grande, rende possibile controllare il grado di affidabilità del piezometro stesso. In questo caso la differenza di misura tra i due sensori è stata di circa  $\pm 7$  cm, il che rientra nella normale tolleranza dello strumento.

L'ultimo controllo generale della strumentazione, con controlli manuali dei livelli piezometrici e taratura di tutti i sensori, è stato per il 2018 nei mesi di febbraio, luglio e ottobre.

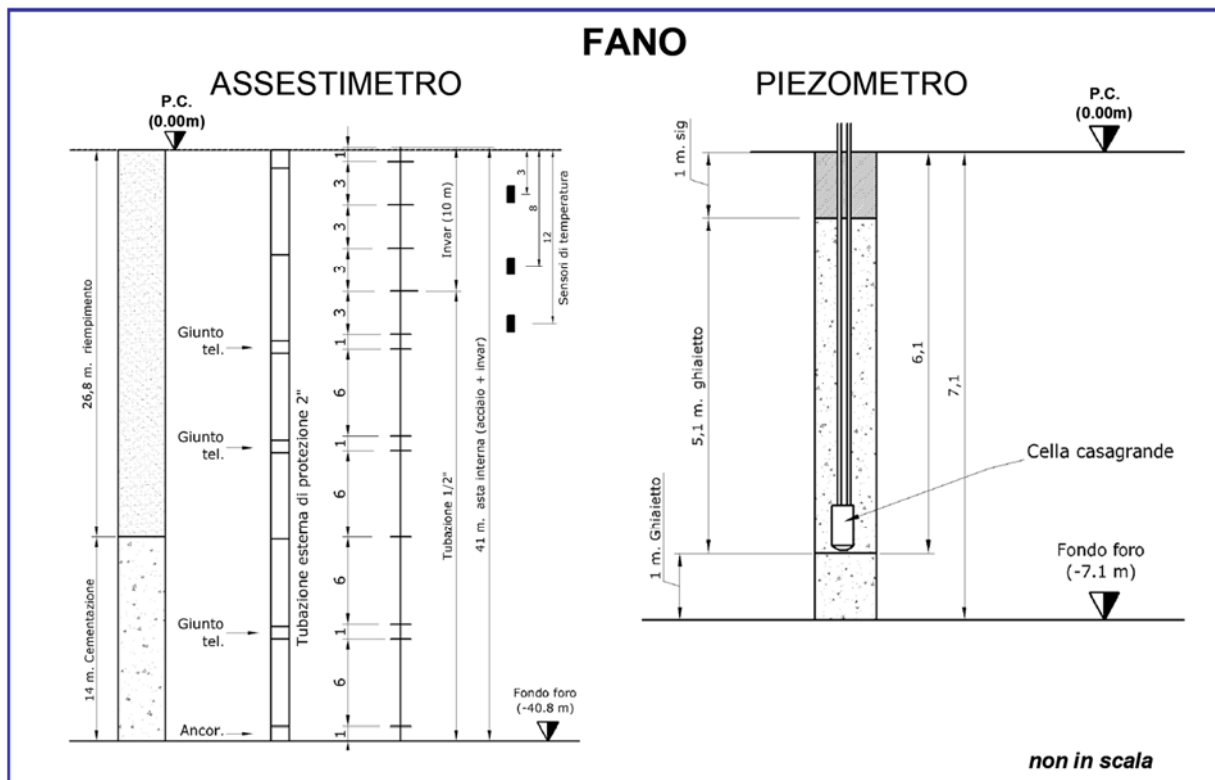


Figura 9B - Stazione EPSU di Fano

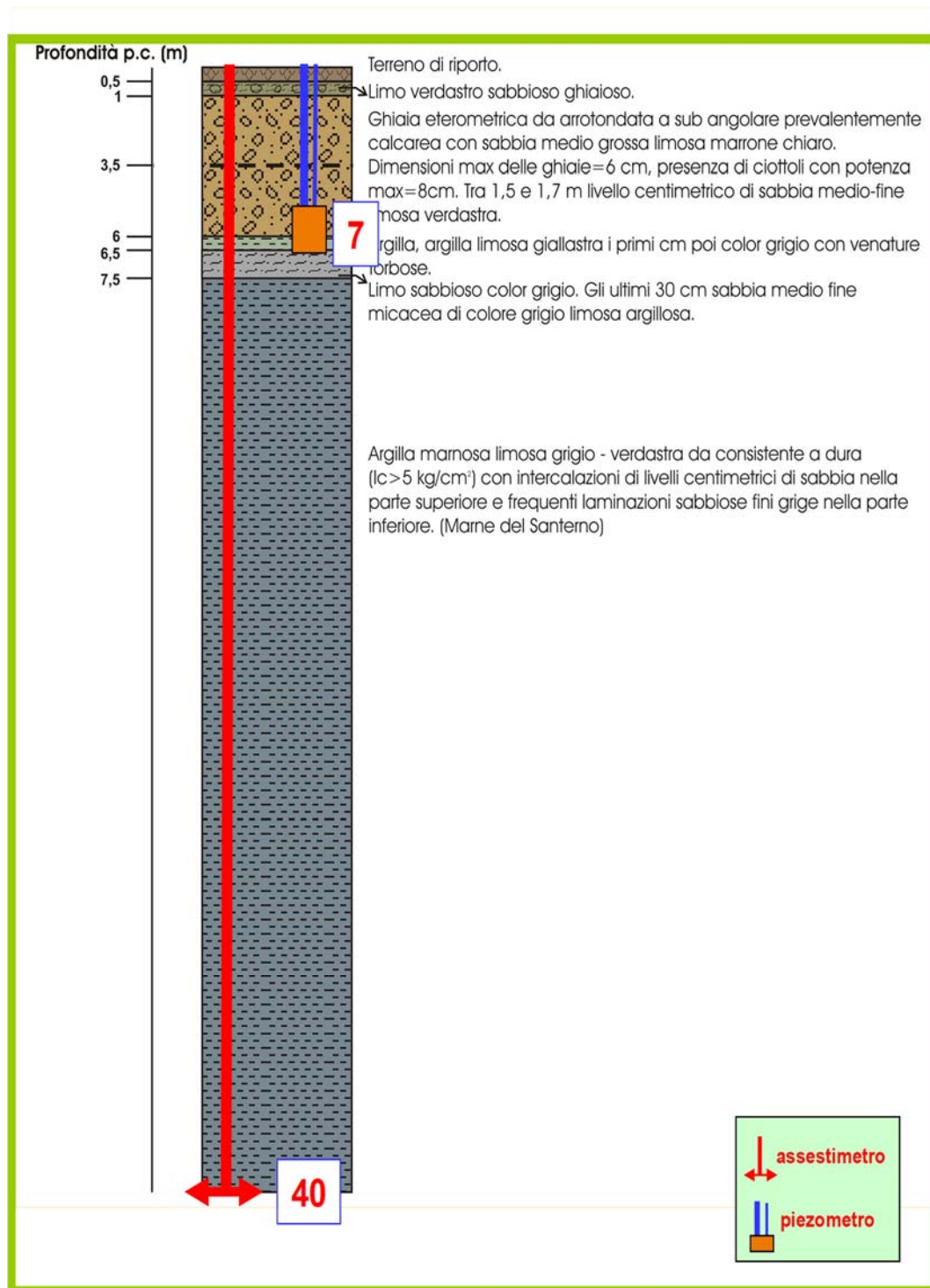


Figura 10B - Litologia dei terreni monitorati dalla stazione EPSU di Fano

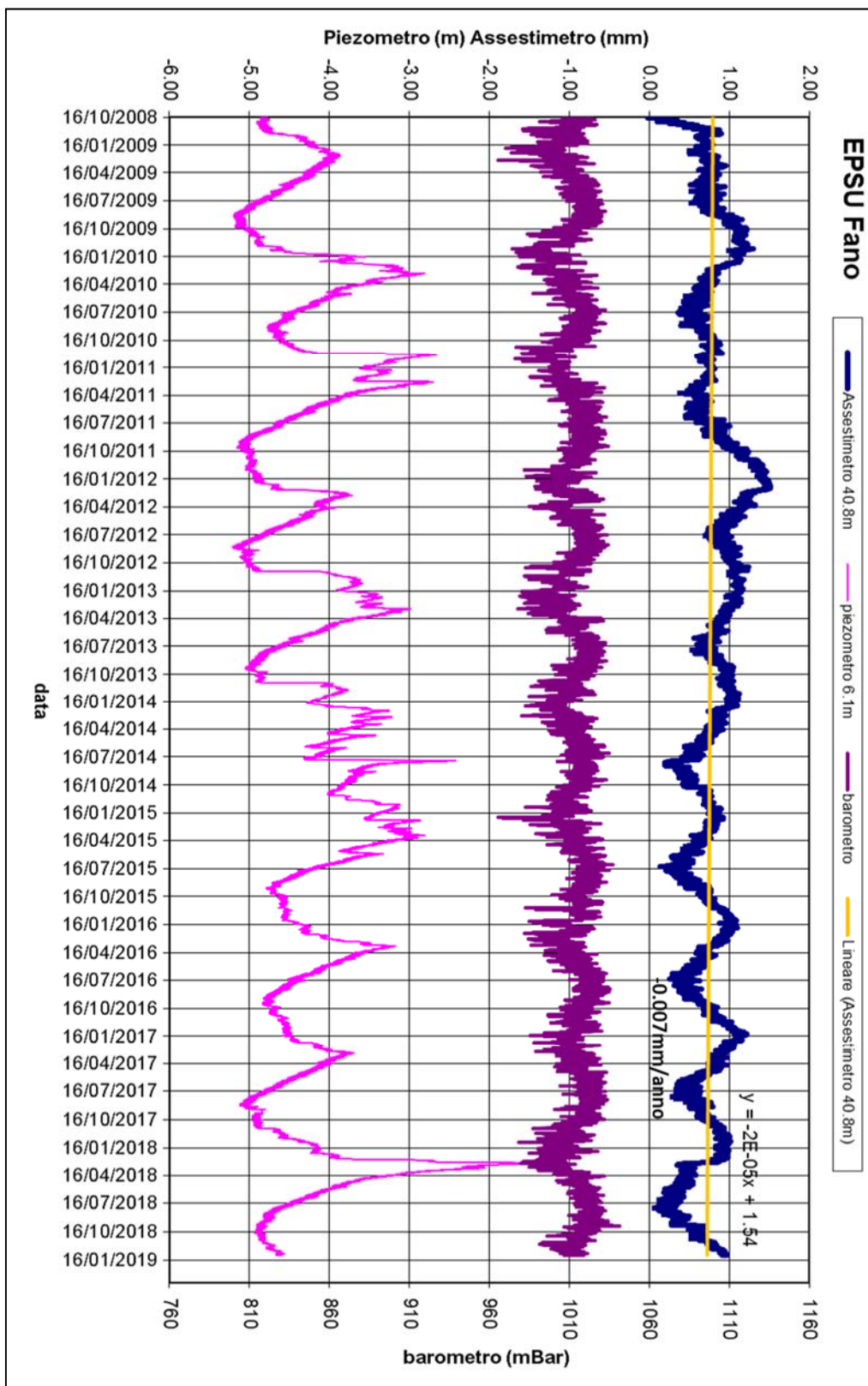


Figura 11B - Stazione EPSU di Fano: misure piezometrico-assestometriche

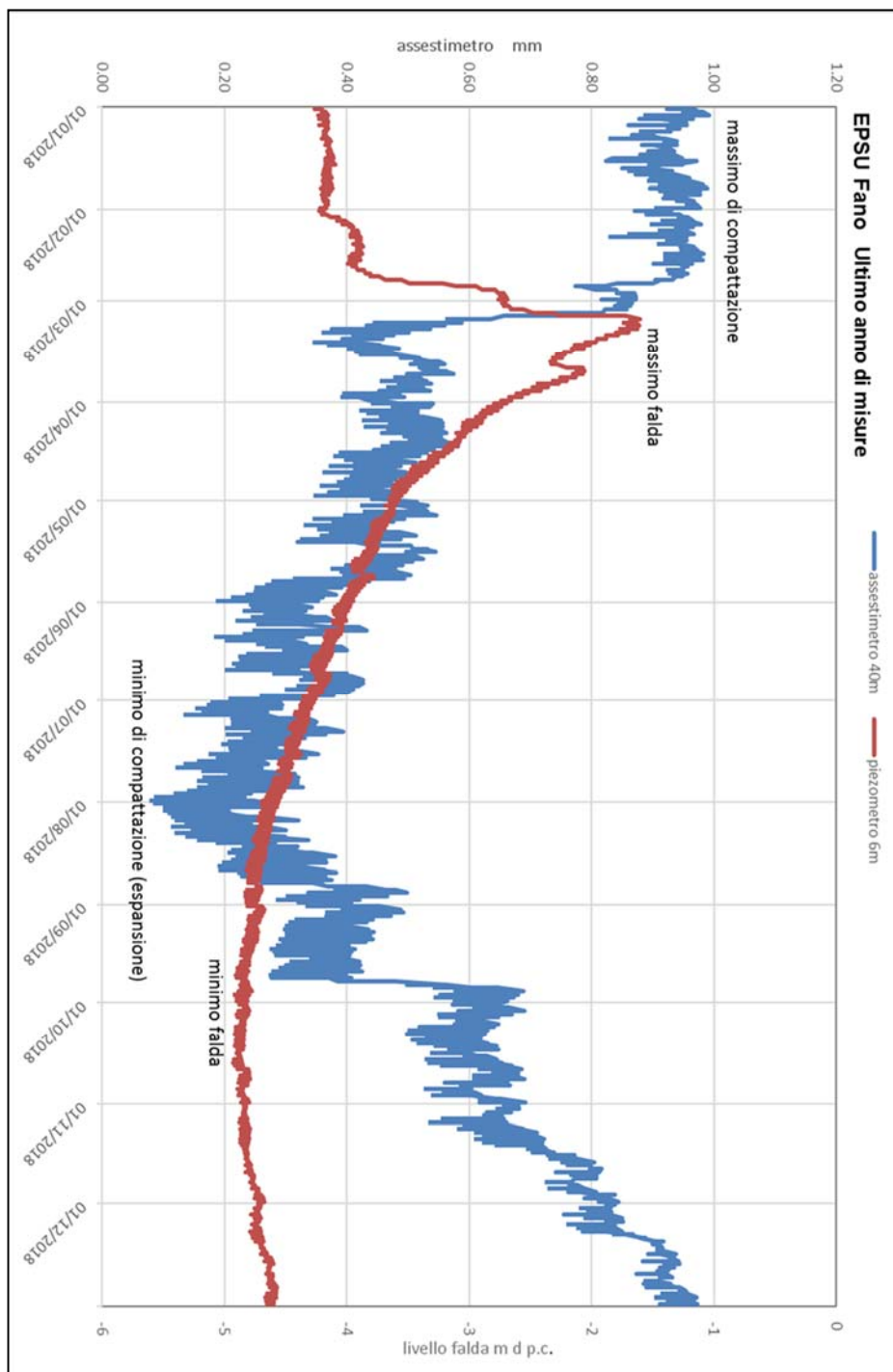
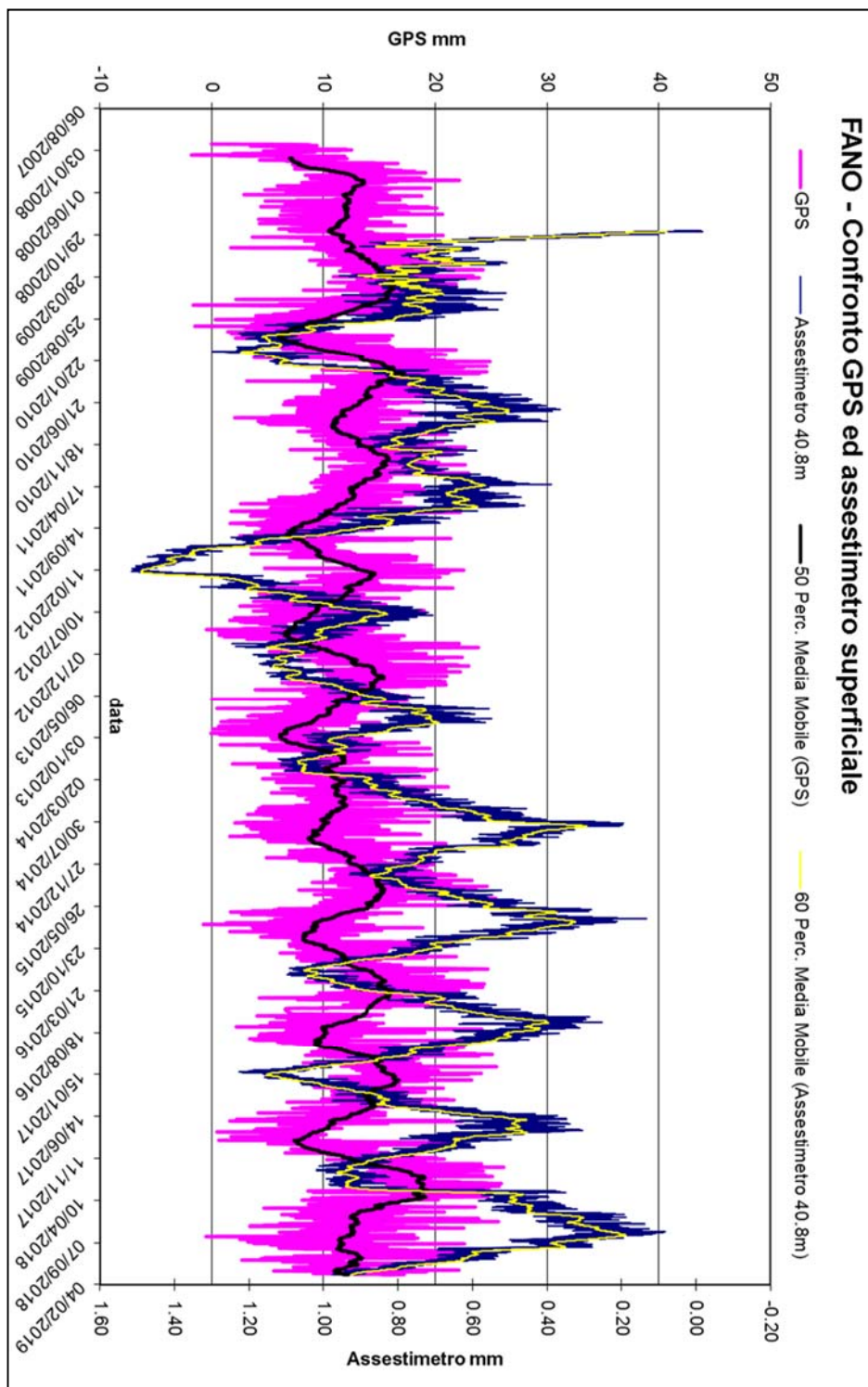


Figura 12B - Stazione EPSU di Fano: misure piezometrico-assestimetrie



**Figura 13B - Stazione EPSU di Fano: confronto fra misure CGPS vs. misure piezometrico-assettimetriche**

*N.B.: nel grafico per meglio apprezzare le modulazioni della curva CGPS questa è stata filtrata con una media mobile su 50 campioni. Per comodità la curva assettimetrica è stata graficata con i valori in ordine inverso, in modo da renderla coerente con le modulazioni del CGPS (spostamenti delle curve verso l'alto indicano sollevamenti del terreno e viceversa).*





## **Stazione EPSU di FALCONARA (installata ottobre 2008)**

### **Strumentazione:**

- assestimetro - quota bottom: 40.3 m da p.c.
- piezometro a cella singola - quota cella: 21 m da p.c.

Lo schema della strumentazione messa in opera nella stazione è illustrato nella Figura 14B, mentre la Figura 15B riporta la litologia dei terreni attraversati dal pozzetto assestimetrico.

Le coordinate WGS84 della stazione sono: 43° 38' 28.86"N e 13° 21' 23.69"E.

La raccolta dati di questa stazione è iniziata il 16 ottobre 2008.

A tale data (in occasione del collaudo) è stato fatto "lo zero" dei sensori di misura.

L'acquisizione dati è stata fatta con regolarità secondo la seguente frequenza:

- 16 ottobre 2008 -18 maggio 2009: una misura ogni ora;
- 08 maggio 2009 - 31 dicembre 2014: una misura ogni 6 ore.

Nei periodi 07 ottobre 2011- 02 novembre 2011 e 03 dicembre - 13 dicembre 2011 si è avuto un problema d'alimentazione all'apparecchiatura d'acquisizione automatica dei dati, con conseguente mancata registrazione degli stessi. Identico problema si è verificato tra febbraio e aprile 2012; si è perciò sostituito parte dell'hardware del sistema d'acquisizione.

L'ultima verifica generale della strumentazione, con controlli manuali dei livelli piezometrici e taratura di tutti i sensori, è stata effettuata nell'ottobre 2018.

### **Analisi dei dati assestimetrici**

L'assestimetro misura la compattazione degli strati di terreno compresi tra il piano di campagna (p.c.) e il punto più profondo d'ancoraggio dello strumento (40.3 m da p.c.).

Nei grafici allegati sono riportati per un confronto sia i dati piezometrici, sia quelli assestimetrici (Figura 16B). I dati relativi all'assestimetro sono espressi in millimetri e riportano gli spostamenti misurati rispetto a un valore base iniziale ("misura di zero"). Tale misura è quella del 16 ottobre 2008, data di collaudo del sistema. Valori positivi degli spostamenti nel grafico dell'assestimetro indicano una compattazione e, viceversa, valori negativi un incremento dello spessore (i.e.: espansione) degli strati di terreno monitorati.



Come nel caso della stazione di Rubicone, anche per quella di Falconara la variazione nel tempo delle misure assestometriche è caratterizzata da una curva ad andamento oscillatorio molto ben correlabile con le variazioni di livello della falda d'acqua monitorate a 22 metri di profondità, dal piezometro nell'ultimo anno (Figura 17B).

L'assestometro, che reagisce quasi immediatamente, senza ritardi, all'escursione massima e minima annuale di tale falda, mostra, inoltre, uno stato del terreno assolutamente stabile nel tempo, cioè senza apprezzabile compattazione. La velocità media annua calcolata con regressione lineare delle misure assestometriche risulta, infatti, pari a ca. -0.1 mm/a (ovvero minima compattazione dello spessore di terreno monitorato).

Identico andamento emerge dall'analisi delle misure di abbassamento/sollevamento del suolo della stazione CGPS installata in loco. La correlazione tra le due curve, assestometrica e CGPS (Figura 18B), è estremamente elevata, il loro sfasamento temporale è pressoché nullo e le "pulsazioni" (espansioni e compattazioni) del terreno (tutte di piccolissima entità) sono correlate alle variazioni di livello della falda acquifera. La velocità media annua calcolata con regressione lineare dei dati CGPS risulta pari a -0.28 mm/a (ovvero leggerissimo abbassamento della superficie del suolo).

Si segnala, inoltre, che per comodità di lettura del grafico (Figura 18B):

- le misure del CGPS sono state filtrate con una media mobile su 50 campioni per meglio evidenziarne l'andamento;
- i valori della curva assestometrica sono stati riportati in ordine inverso, così da renderne l'andamento coerente quello della curva CGPS (spostamenti delle curve verso l'alto indicano sollevamenti del terreno e viceversa).

## **Analisi dei dati piezometrici**

Il grafico di Figura 14B oltre ai dati assestometrici riporta in ordinate sia la quota piezometrica (in m), ovvero la profondità del livello dell'acqua all'interno del tubo piezometrico riferita al piano campagna, sia il valore della pressione barometrica.

Nel caso di Falconara il livello della falda è risultato molto alto, circa 1.3 m da p.c. Dato che si sono utilizzati 2 trasduttori di pressione - uno per ogni canna del piezometro Casagrande - si è in grado di controllare l'attendibilità delle misure.

Nel 2018 è stata effettuata la manutenzione ordinaria delle apparecchiature nei mesi di febbraio, luglio e ottobre. In tutte le occasioni si è misurato manualmente con freatometro il

livello della falda per verificare la qualità delle misure registrate dai trasduttori. Le differenze riscontrate sono risultate sempre molto piccole, dell'ordine di 2-3 cm, per cui i piezometri sono da considerarsi affidabili e funzionanti.

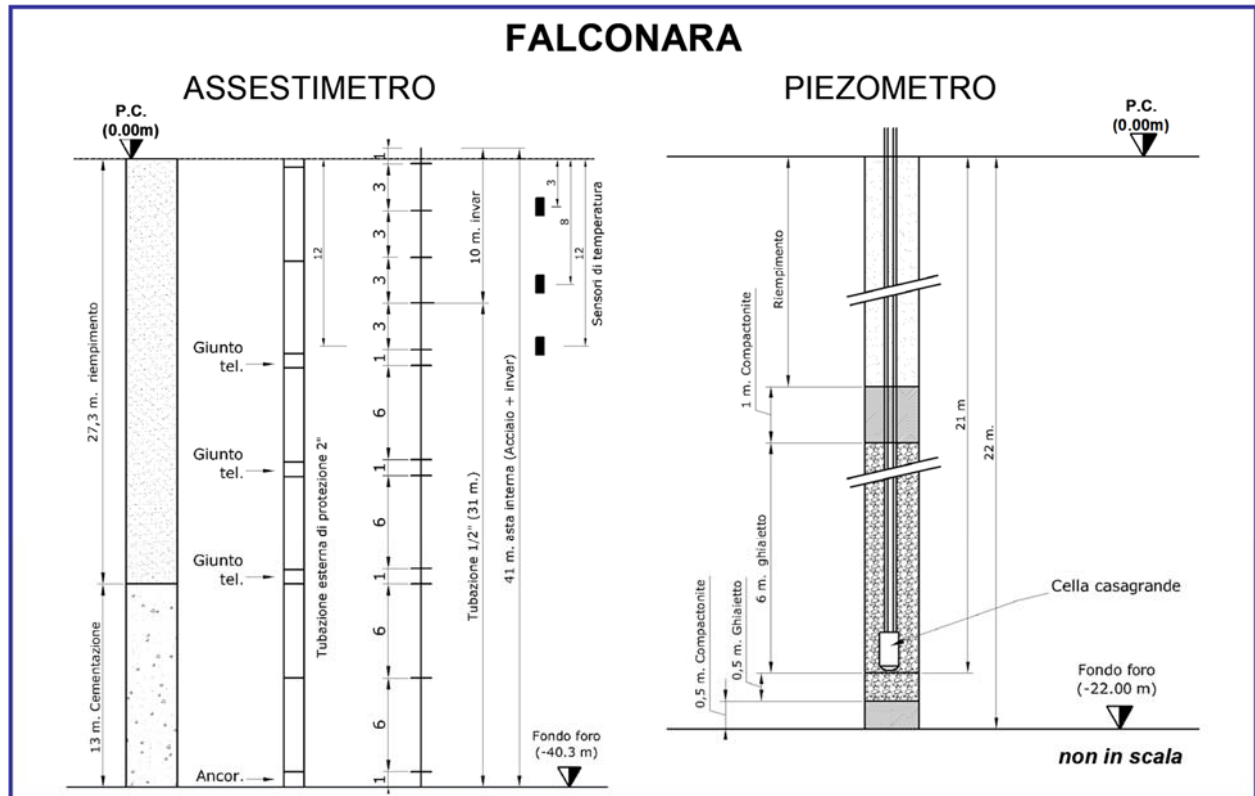


Figura 14B - Stazione della stazione EPSU di Falconara

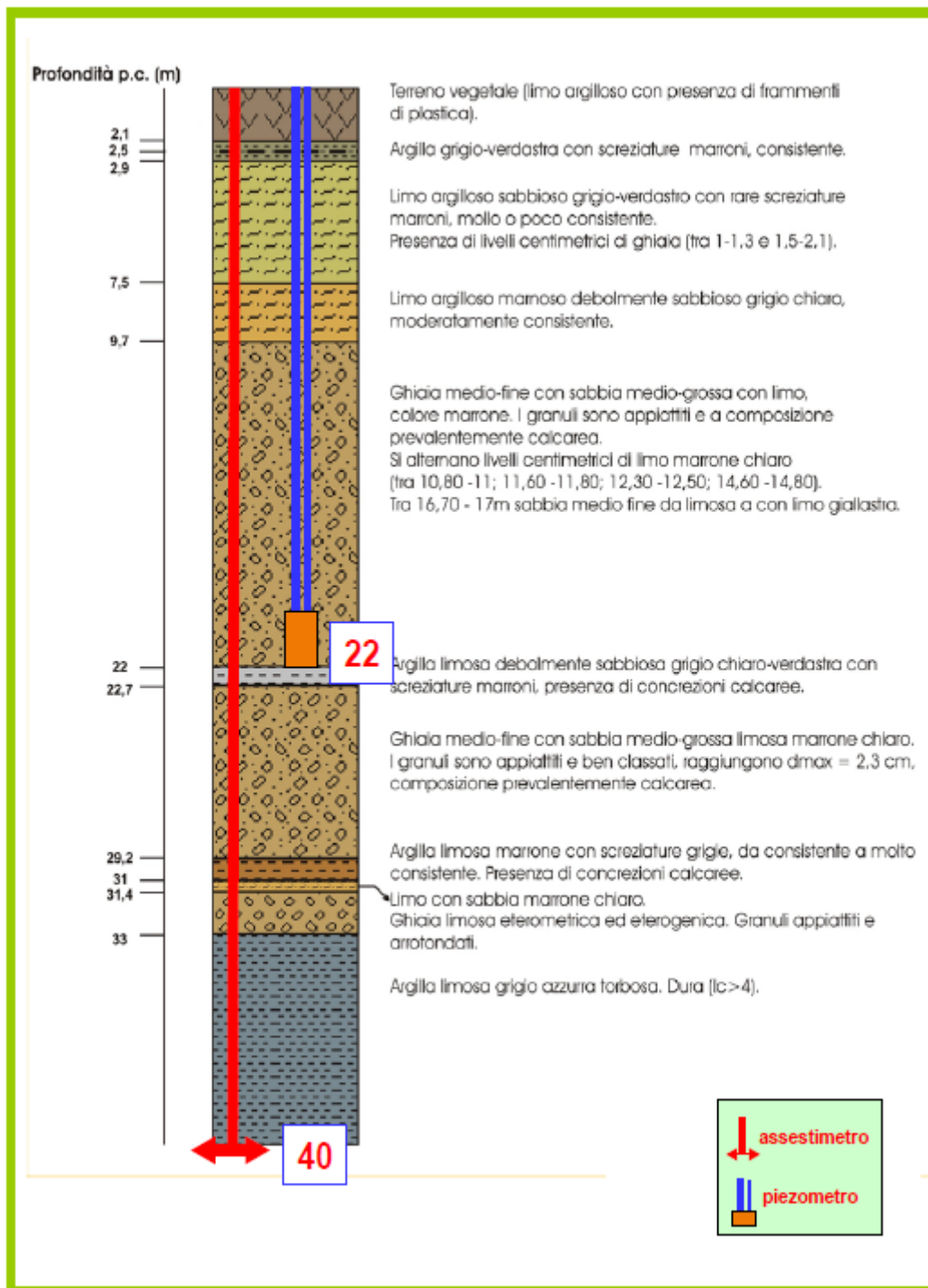


Figura 15B - Litologia dei terreni monitorati dalla stazione EPSU di Falconara

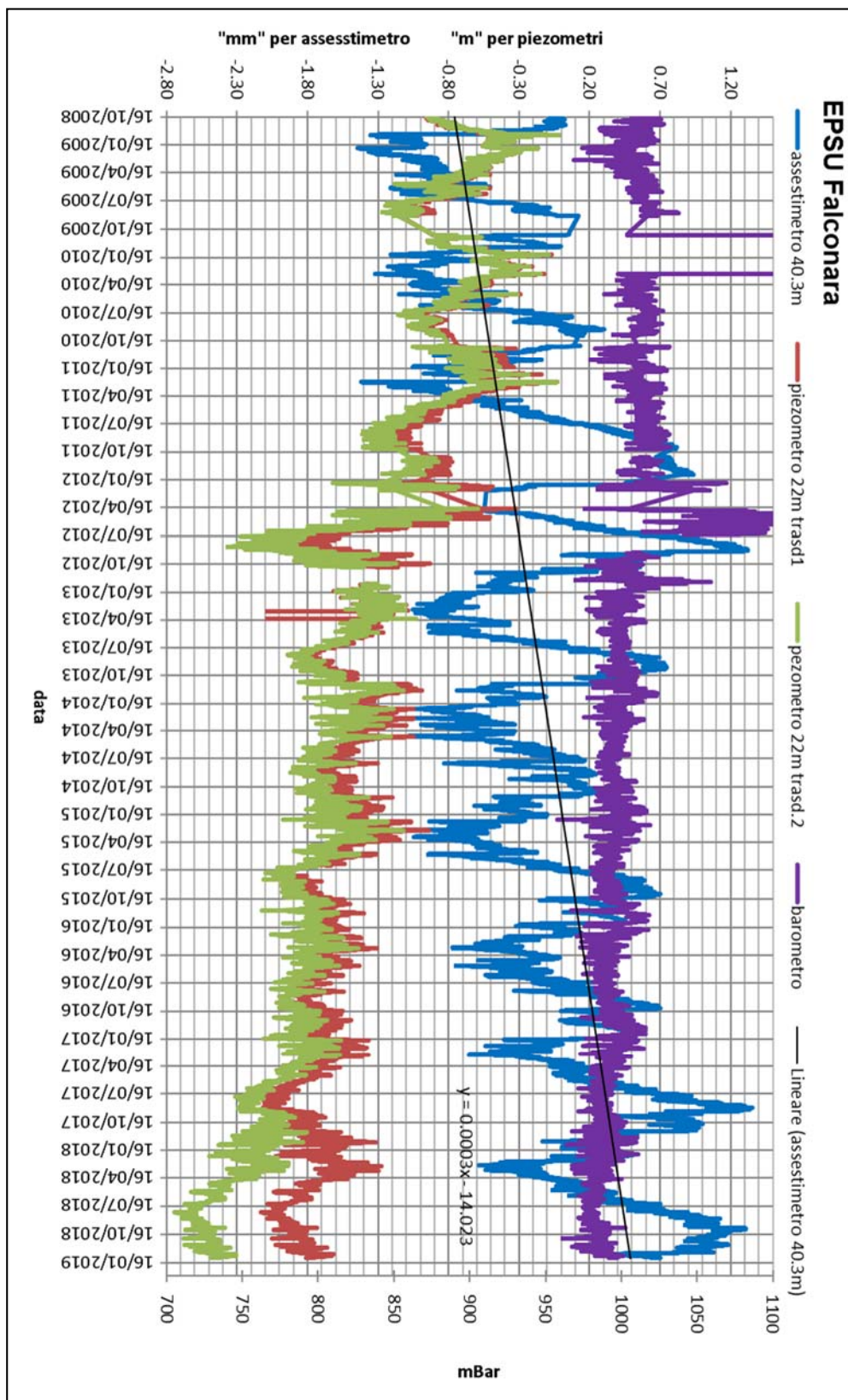


Figura 16B - Stazione EPSU di Falconara: misure piezometrico-assestimetriche

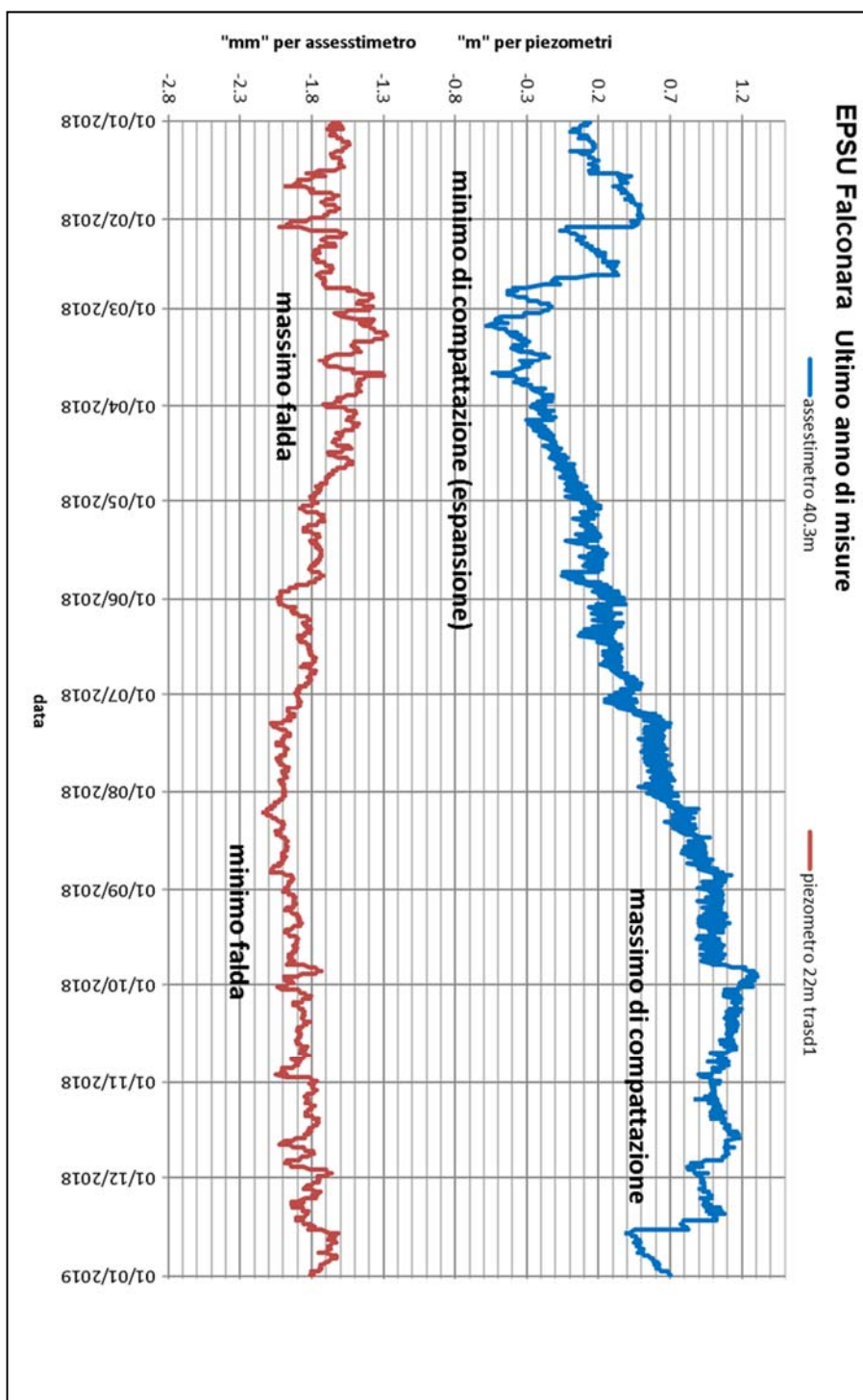
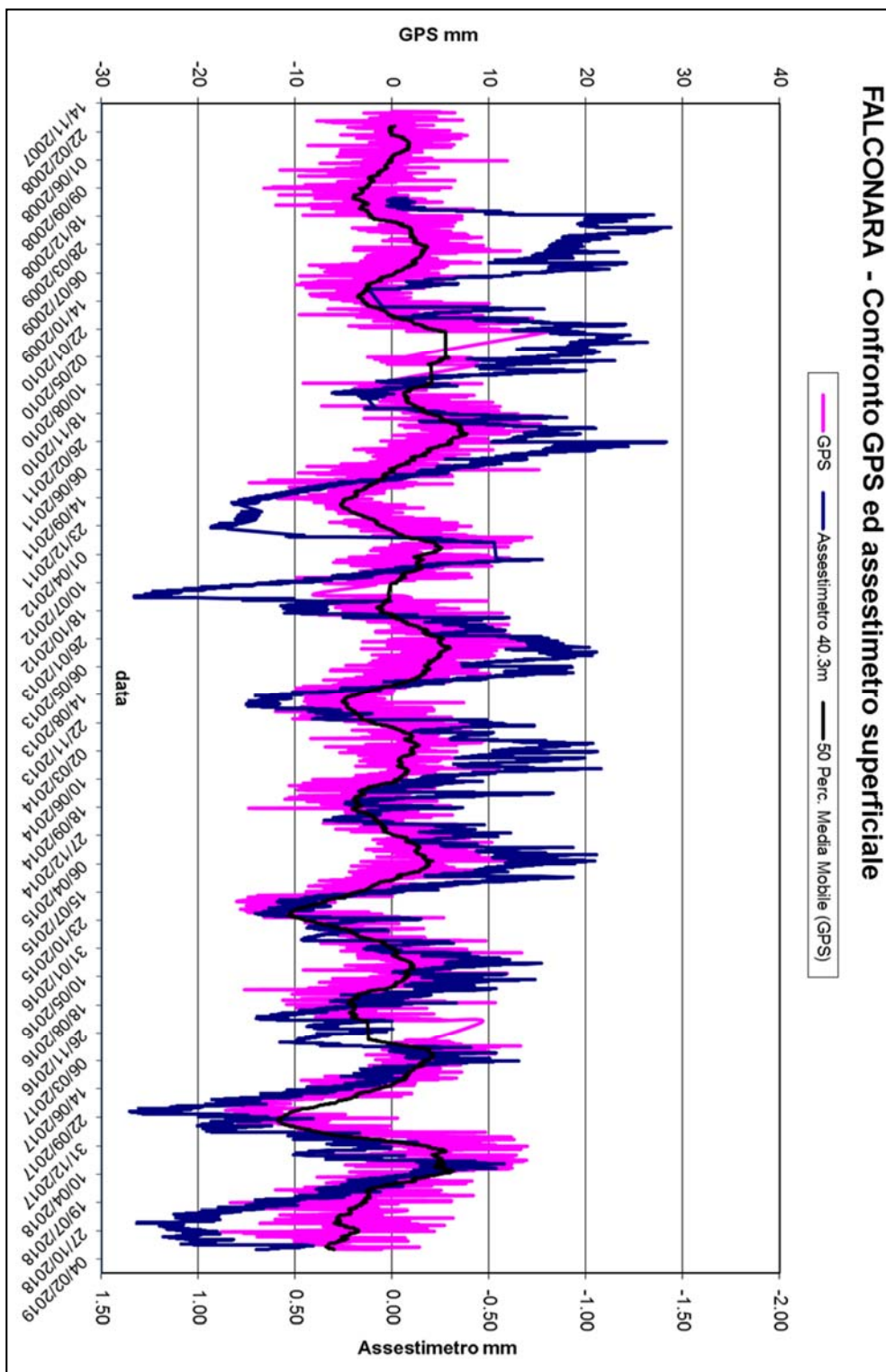


Figura 17B - Stazione EPSU di Falconara: misure piezometrico-assestimetriche



**Figura 18B - Stazione EPSU di Falconara: confronto misure CGPS vs. misure piezometrico-assestimetriche**

*N.B.: nel grafico per meglio apprezzare le modulazioni della curva CGPS questa è stata filtrata con una media mobile su 50 campioni. Per comodità la curva assestimetrica è stata graficata con i valori in ordine inverso, in modo da renderla coerente con le modulazioni del CGPS (spostamenti delle curve verso l'alto indicano sollevamenti del terreno e viceversa).*



## Conclusioni

Dall'insieme dei dati sino ad ora raccolti nelle 3 stazioni *EPSU* si nota, in generale, una buona correlazione diretta tra l'andamento stagionale della piezometrica ed i cicli di compattazione ed espansione del terreno misurati dagli assestimetri.

Tale correlazione è più evidente nel caso di Falconara, dove il piezometro monitora le falde superficiali più sensibili a tutte le variazioni stagionali di piovosità.

Anche nel caso di Rubicone c'è un'ottima correlazione tra i cicli stagionali di compattazione/espansione del terreno monitorati dall'assestimetro e le corrispondenti variazioni di livello delle tre falde registrate dai piezometri. Le compattazioni massime (contrazioni del terreno), infatti, si hanno all'incirca a settembre/ottobre di ogni anno dopo circa 1.5 / 2 mesi dai minimi livelli di falda; le espansioni massime si verificano, invece, mediamente verso aprile/maggio di ogni anno e a loro volta sono in buona correlazione con i livelli piezometrici massimi delle stesse falde avvenuti 1.5/2 mesi prima. L'assestimetro di questa stazione, essendo il più profondo di quelli installati nelle 3 *EPSU*, è anche quello che registra nel tempo un aumento progressivo della compattazione del terreno monitorato (spessore 320 m). Lo strumento a dicembre 2018, dopo 9.73 anni di funzionamento, misurava, infatti, una compattazione complessiva (rispetto allo zero iniziale) di 29.31 mm, che con un semplice calcolo equivale a una velocità media annua di compattazione pari a circa 3 mm/a. Tale valore si riduce leggermente a circa 2.8 mm/a se si elaborano i dati delle misure assestimetriche con una regressione lineare. Nel caso di Fano, il trend delle curve piezometrica e assestimetrica è maggiormente influenzato dalla litologia attraversata dai pozzi, litologia che rende meno evidente la correlazione tra andamento stagionale del livello della falda e misure assestimetriche. Infatti, mentre il piezometro monitora le variazioni di livello della falda in uno strato ghiaioso-sabbioso superficiale (max. profondità 6 m dal p.c.), l'assestimetro è ancorato all'interno di uno strato argilloso spesso circa 32 m e scarsamente comprimibile, lo strumento, infatti, nei circa 10 e più anni di funzionamento ha misurato una compattazione complessiva quasi nulla (0.91mm). A tale spessore di litologia argillosa si potrebbero imputare i ritardi nella compattazione espansione del terreno rispetto all'escursione della falda freatica monitorata. La tabella che segue riporta per ciascuna stazione la compattazione complessiva del terreno al 31/12/2018 e la relativa velocità media annua, valutata semplicemente come rapporto fra la misura assestimetrica a fine 2018 e gli anni complessivi





sivi di monitoraggio. In questo caso non si è fatta alcuna regressione lineare dei valori della serie storica assestimetrica. Questo procedimento potrebbe, pertanto, dare risultati non perfettamente uguali, anche se molto simili, a quelli riportati nelle precedenti analisi dei dati assestimetrici. Si noti, altresì, che per le stazioni di Fano e Falconara le misure assestime- triche hanno valori molto piccoli, e che nel periodo d'osservazione non è emerso un trend ben definito di compattazione del terreno. In questo caso le medie annuali non si possono considerare veramente significative.

Sito	Anni di osservazione	Assestimetro profondo		Assestimetro superficiale	
		Spostamento compl. (mm)	Velocità (mm/a)	Spostamento compl. (mm)	Velocità (mm/a)
<b>Rubicone</b>	9.73	29.31	3	n.i.	-
<b>Fano</b>	10.21	n.i.	-	0.91	n.v.
<b>Falconara</b>	10.21	n.i.	-	0.69	n.v.

n.i. = non installato

n.v. = non valutabile